Die Entstehung der chemischen Elemente im Universum

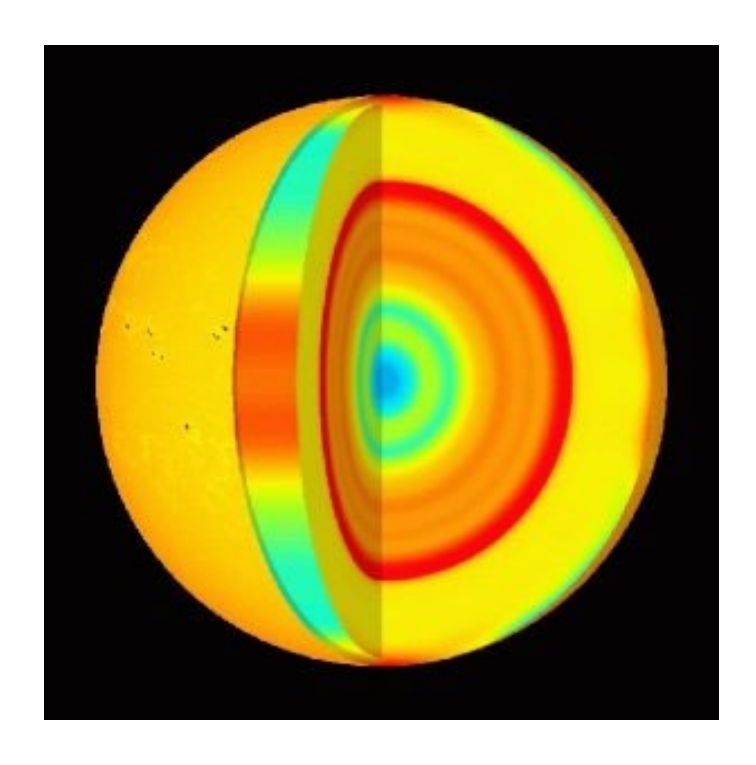
öffentlicher Abendvortrag

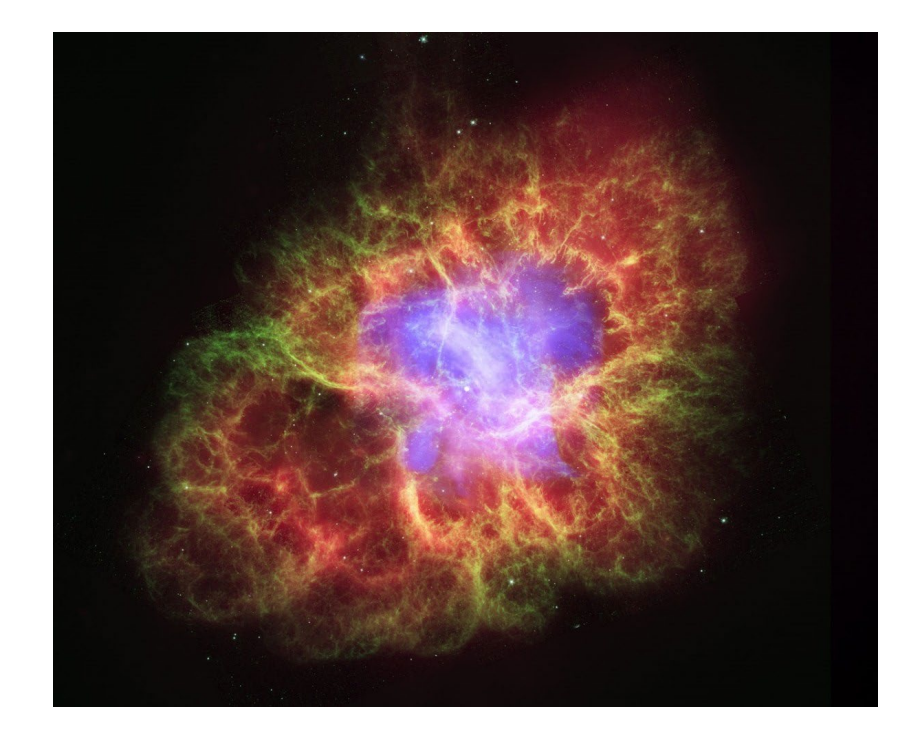
aus Anlass der Tagung «Nuclear Physics in Astrophysics XI» in Dresden am 17.9. 2024

Friedrich-Karl Thielemann

Departement Physik, Universität Basel

und GSI Helmholtz-Zentrum für Scherionenforschung, Darmstadt





Die Rolle von Sternen und Sternexplosionen

Uns bekannte chemische Elemente: z.B.:





Wasserstoff und Helium gasförmig in der Erdatmosphäre (wie auch Stickstoff, Sauerstoff, Neon, Argon...)



Silizium





Brom und **Quecksilber** flüssig















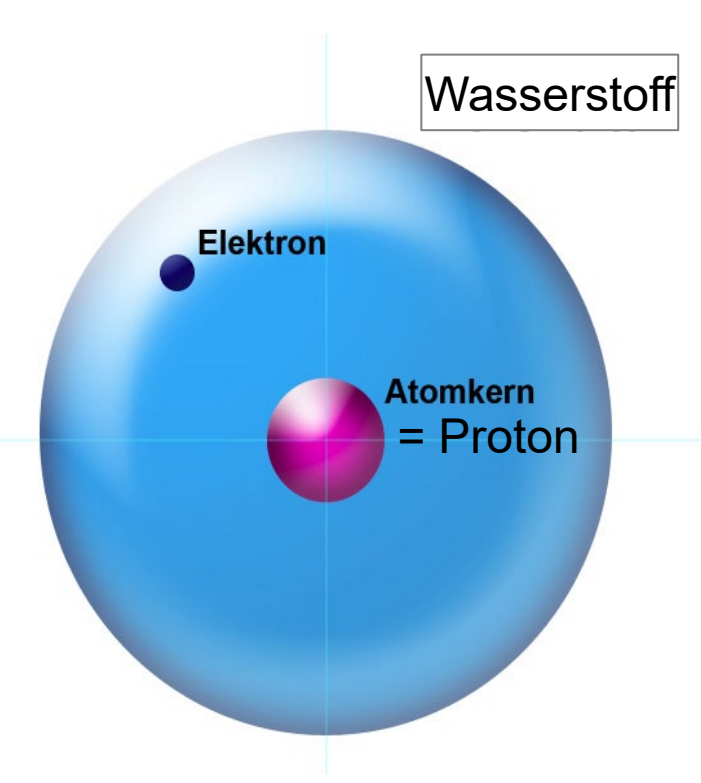
Elemente in fester Form



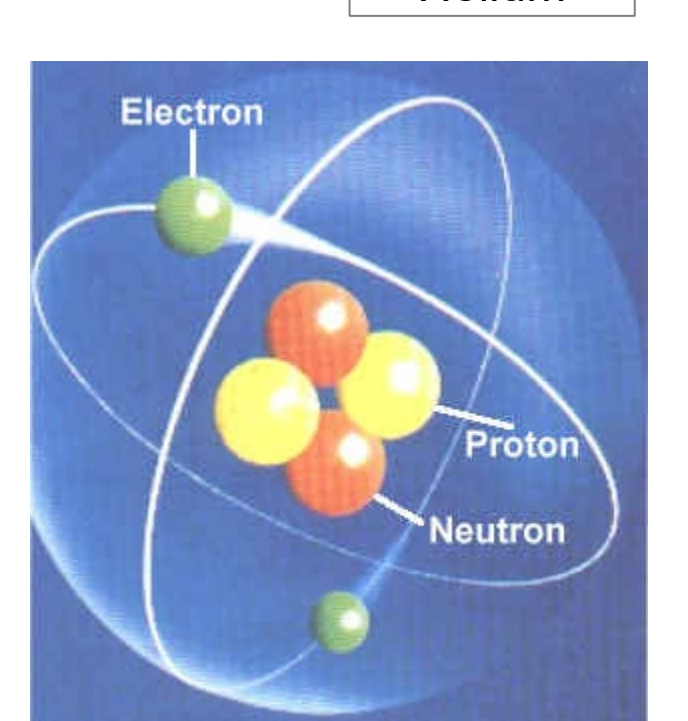


Silber und Gold
Edelmetalle

Aufbau der Atome und chemischen Elemente



Die am häufigsten in stabiler Materie vorkommenden Flementarteilchen sind Protonen, Neutronen und Flektronen Die Anzahl der Elektronen in der Elektronenhülle bestimmt das chemische Element. bei Z=1 handelt es sich um H (Wasserstoff), bei Z=2 um He (Helium). Die Protonen im Atomkern sind positiv geladen, die Elektronen in der Hülle negativ. Es gibt ebenfalls neutrale Neutronen im Atomkern

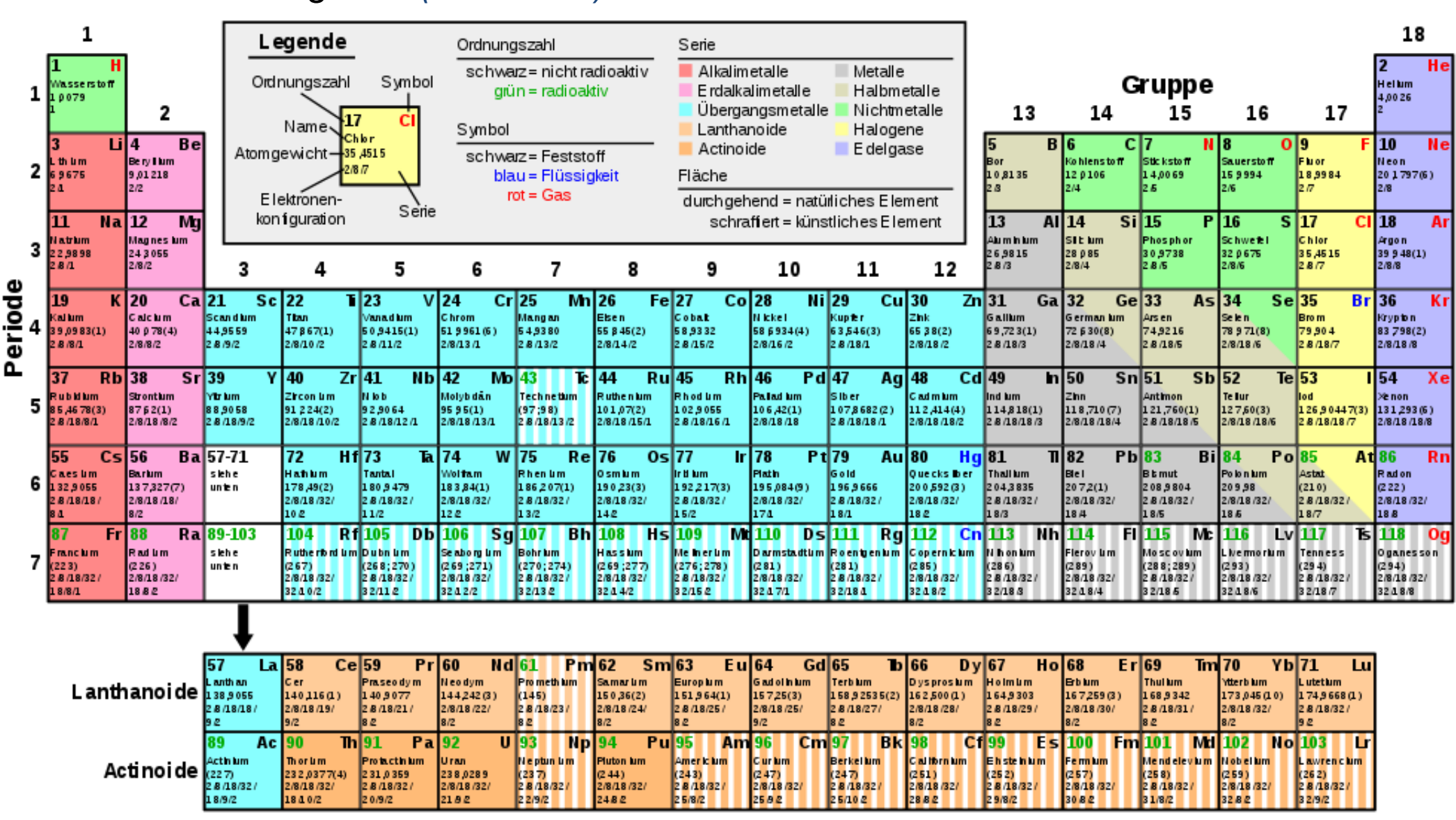


Helium

In den Jahren 1868/69 brachten der russische Chemiker Dimitri Iwanowitsch Mendelejew und der Deutsche Lothar Meyer unabhängig voneinander die damals bekannten Elemente in eine bestimmte Ordnung → 1869 (vor 155 Jahren) Veröffentlichung des Periodensystems der Elemente

Die heute bekannten chemischen Elemente

bis Oganessan (Z=118), Elemente mit Z>94 (Plutonium) sind instabil, kurzlebig und nur in kernphysikalischen Beschleunigerlabors erzeugt. (wikimedia)





Niels Bohr postulierte 1913, dass man die Energiezustände der unterschiedlichen Elektronenbahnen erklären konnte, wenn der Bahndrehimpuls nur ein Vielfaches des Planckschen Wirkungsquantums annehmen kann L=n $h/2\pi$

Nachdem Louis de Broglie 1924 einführte, dass Materieteilchen auch Welleneigenschaften haben mit einer Wellenlänge λ , die mit dem Impuls des Teilchens durch $p=h/\lambda$ verknüpft ist, bzw. $\lambda=h/p$, war das Bohrsche Postulat identisch mit der Aussage, dass Elektronen auf ihren Bahnen stehende Wellen bilden und die Umlauflänge gerade ein Vielfaches der Wellenlänge sein muss $2\pi r=n\lambda$. Damit (und weiteren Verfeinerungen*) lassen sich alle Elemente und ihre Elektronenzustände verstehen.

Atomkern

Die Elektronenhülle bestimmt die chemischen Eigenschaften.

*die Kopplung vom Bahndrehimpuls mit dem intrinsischen Drehimpuls (Spin) des Elektrons und die Berücksichtigung von relativistischen Effekten bei schweren Kernen bestimmen das vollständige Verständnis der Elektronenzustände

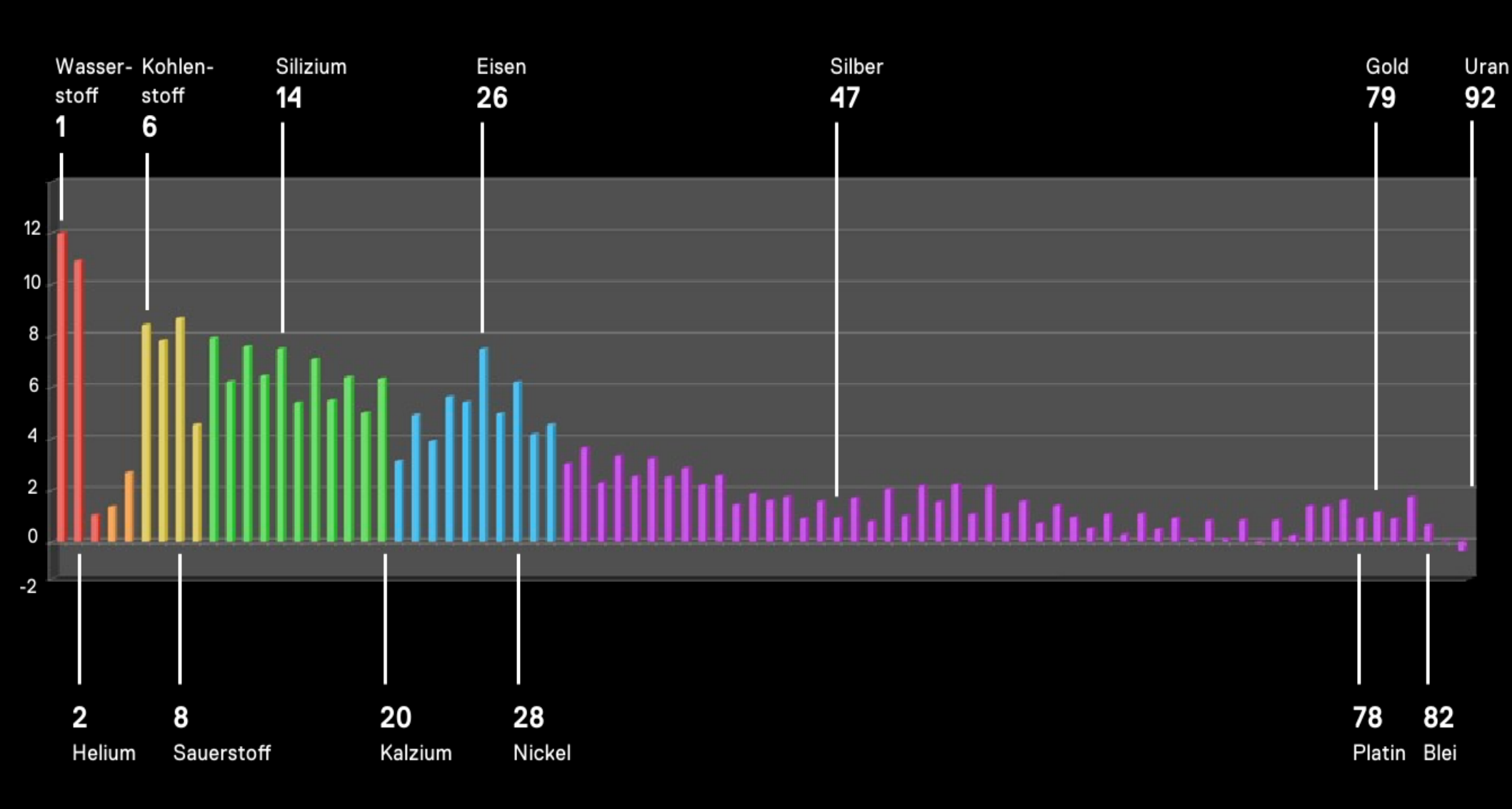
** wenn die maximale Besetzung von Elektronenbahnen (Schalenabschlüsse) erreicht ist, ergibt sich eine sehr hohe Bindungsenergie und solche Elemente gewinnen in der Regel keine Energie durch chemische Reaktionen (Edelgase), bei denen sich gemeinsame Elektronenbahnen um (mehrere) Atomkerne bilden würden



Fraunhofersche Absorptionslinien im Sonnenlicht

entsprechen der Energie zwischen Anregungszuständen in der Elektronenhülle, wobei aus dem Inneren strömende Photonen dieser Frequenz absorbiert werden und damit die Intensität der Strahlung bei dieser Frequenz reduziert wird. 81 Zu Traunhofor's Abh. Donkschr. 1814_15. G (äußerstes Rot) Terrestrischer Sauerstoff (Rot) Terrestrischer Sauerstoff (Rot) Solarer Wasserstoff D_I D₂ E F (Gelb) Solares Natrium Solares Natrium (Ge1b) (Grün) Solares Eisen (Blau) Solarer Wasserstoff (Violett) Solares Eisen und solares Calcium (äußerstes Violett): Solares Calcium

HÄUFIGKEITSVERTEILUNG IM SONNENSYSTEM (AUS KOHLIGEN CHONDRITEN UND SOLAREN ABSORPTIONSSPEKTREN)



Eine Einheit auf der y-Achse entspricht einem Faktor 10, d.h. Von 2 nach 4 bzw. 8 nach 10 sind Elemente 100 mal häufiger. Auf der x-Achse ist die Atomzahl Z aufgetragen.

(mit Hilfe von Sternmodellen kann aus der Tiefe der Absorptionslinien die Elementhäufigkeit bestimmt werden)

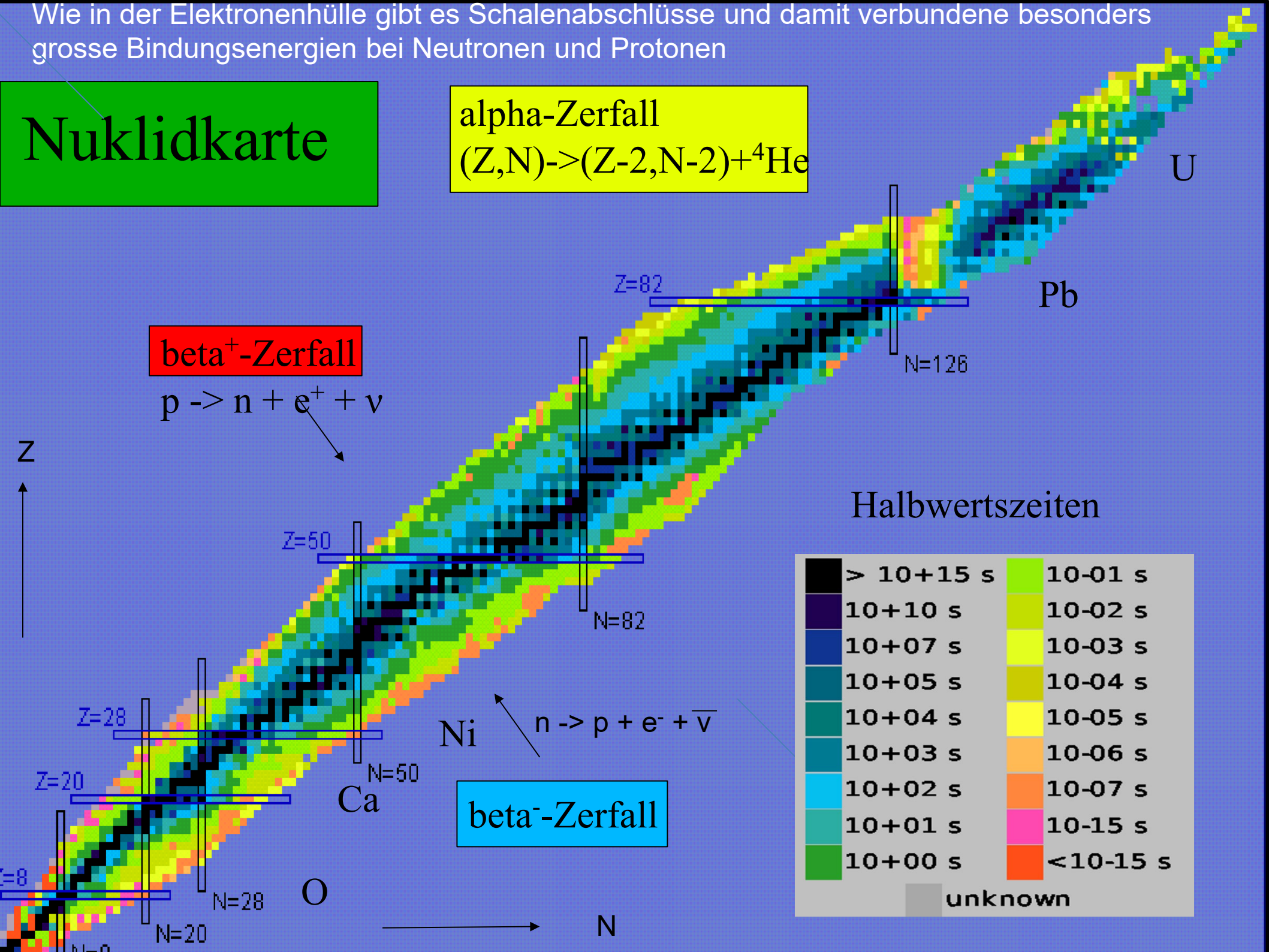
Isotope des Wasserstoffs

Name	Symbol	Modell des Kerns	Bau des Kerns	Anteil
Protium	¹ H	P	1 Proton , keine Neutronen <mark>Z = 1</mark> A = 1	99,985 %
Deuterium	² H bzw. D	np	1 Proton , 1 Neutron 2 = 1 A = 2	0,0145 %
Tritium	³ Н _{bzw.} Т	np	1 Proton , 2 Neutronen <mark>Z = 1</mark> A = 3	10 ⁻¹⁶ %

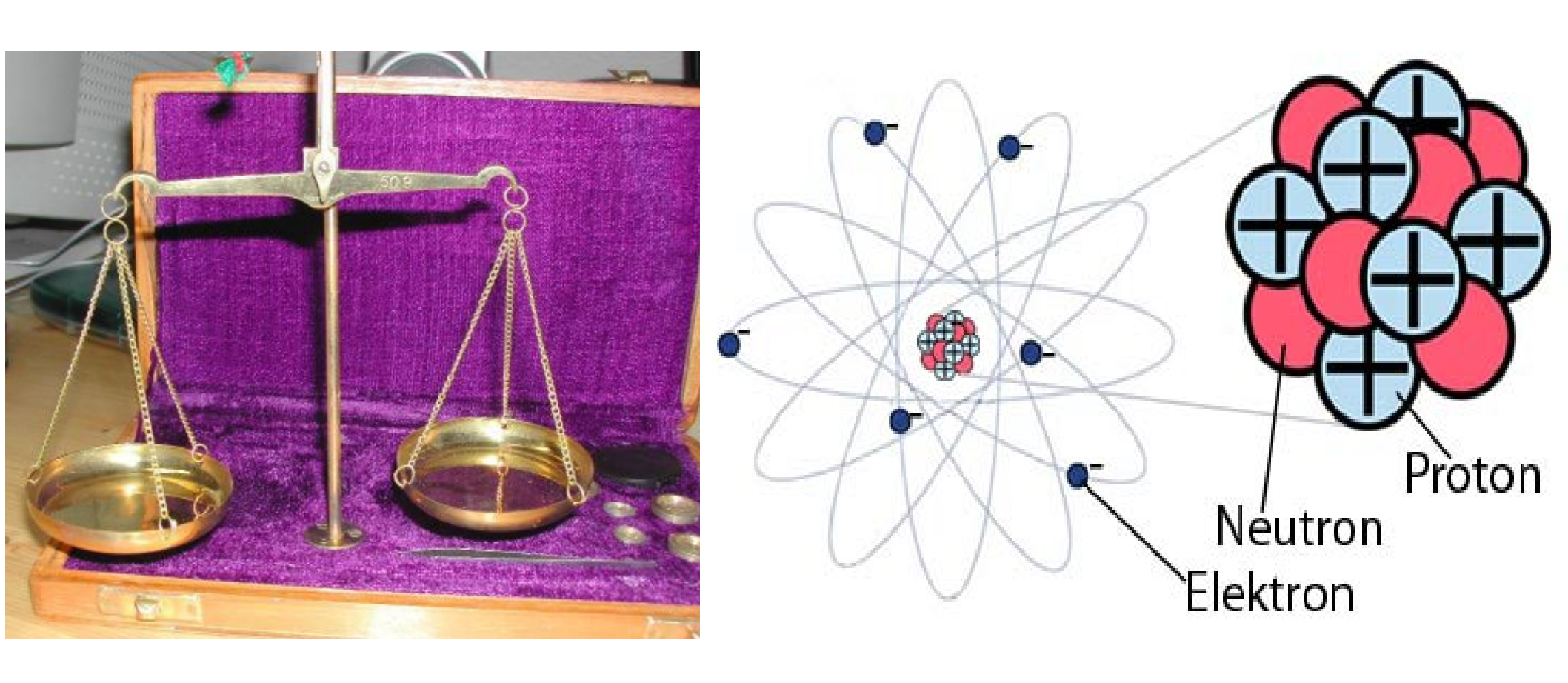
Die Anzahl der Protonen im Atomkern ist identisch mit der Anzahl der Elektronen in der Hülle (positive und negative Ladungen führen zum insgesamt ungeladenen Atom).

Unterschiedliche Anzahlen von Neutronen führen zu unterschiedlichen Isotopen des gleichen Elements.

Typischerweise sind Isotope mit etwa gleichen Neutronen- und Protonenzahlen stabil.



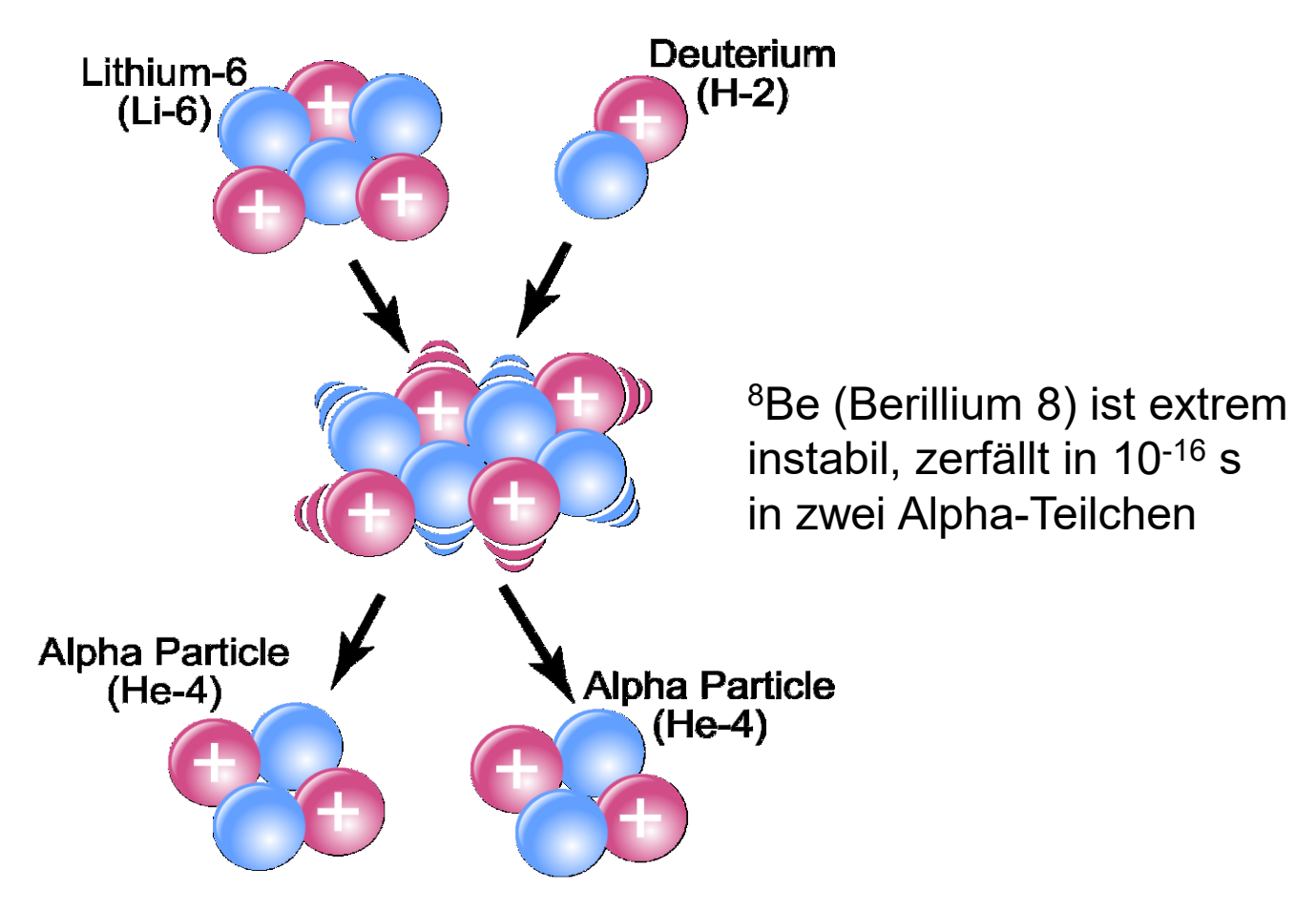
Was ist Bindungsenergie? (E=mc²)



6 freie Protonen + 6 freie Neutronen + 6 freie Elektronen sind schwerer als ein Kohlenstoffatom in dem diese gebunden vorliegen

Die Differenz von 6 Protonen + 6 Neutronen – Masse des Atomkerns entspricht der Kernbindungsenergie, die Bindung der 6 Elektronen in der Atomhülle entspricht der chemischen Bindungsenergie

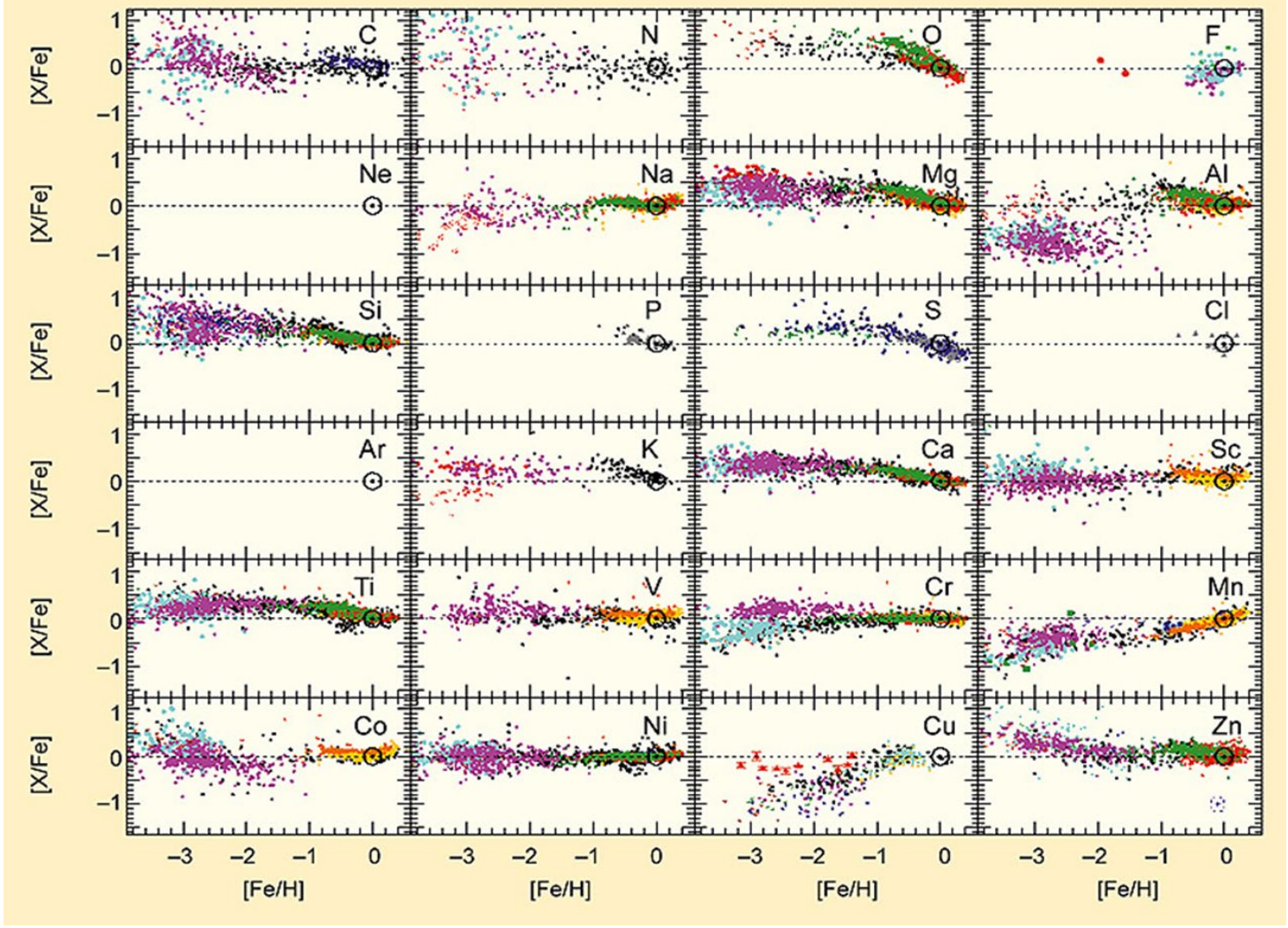
Kernreaktionen



Lithium-6 – Deuterium Reaction

Bei Kernreaktionen werden durch Zusammenstoss (Fusion) von zwei Atomkernen andere Kerne erzeugt. Vorausssetzung ist, dass die Abstossung zwischen den Ladungen der kollidierenden Kerne überwunden wird (daher entsprechende Geschwindigkeiten notwendig = Temperatur in einem Gas). Bei den Kernumwandlungen wird Energie frei. Fusion von leichteren Kernen bis Eisen führt zur Freisetzung von Energie.

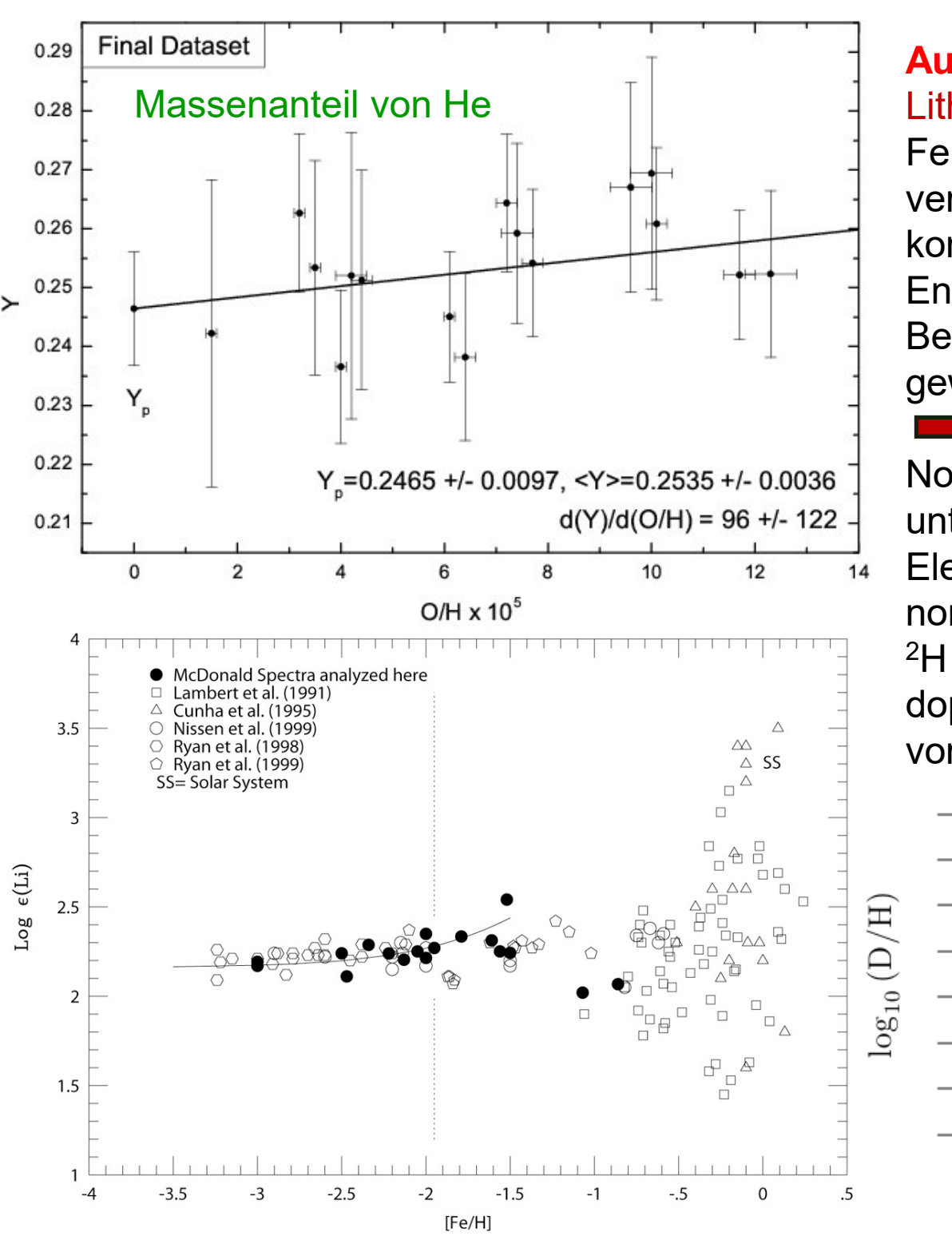
Spektren alter Sterne informieren über die Elemententwicklung in unserer Galaxie (der Milchstrasse)



von N. Prantzos

Sterne «brennen» durch Kernfusionen im Innern, aber die Oberfläche zeigt die Komposition an mit der sie aus Gaswolken entstanden sind, d.h. wir können bei der Beobachtung verschieden alter Sterne in die Vergangenheit unserer Galaxie sehen.

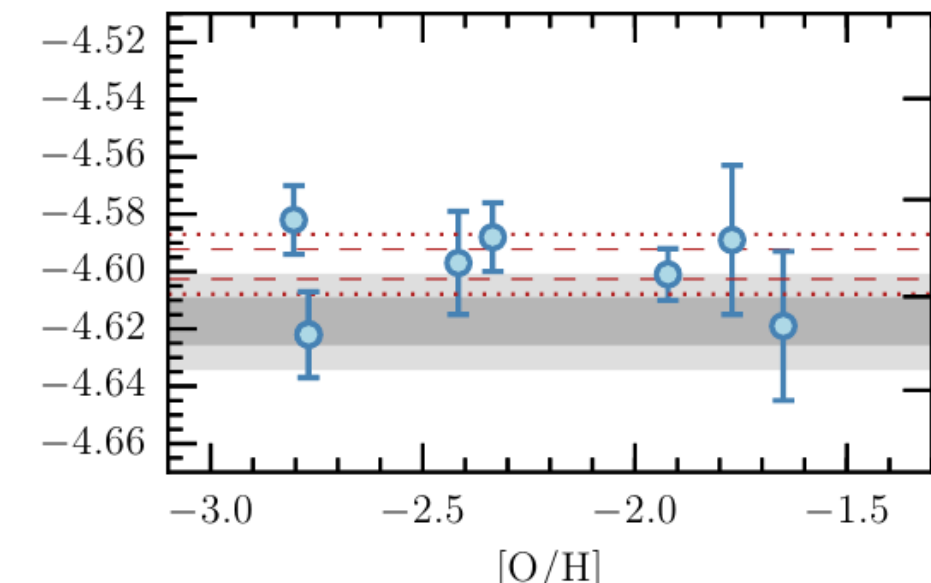
Die Häufigkeitsverhältnisse sind logarithmisch angegeben (0=solar, -1=1/10 solar, -3=1/1000 solar). Die Verhältnisse der verschiedenen Elemente (X=C,N,O,Mg,Si,S,Ca,Ti) zu Eisen (Fe) variieren mit dessen Anreicherung, d.h. der Zeit, aber mit verschwindend kleinen Fe-Häufigkeiten verschwinden sie ebenfalls.



Ausnahmen: Wenn wir Helium, Lithium und Deuterium bis zu den kleinsten Fe oder O-Werten zurückverfolgen, verschwinden diese nicht, sondern werden konstant, d.h. sie müssen schon vor der Entstehung der Milchstrasse mit ihren Beiträgen durch Sterne vorhanden gewesen sein

Urknall.

Normalerweise lassen sich Spektren unterschiedlicher Isotope des gleichen Elements kaum unterscheiden. Bei normalem ¹H (1 Proton) und dem Isotop ²H (D = 1 Neutron,1 Proton) liegt aber eine doppelt so grosse Masse des Atomkerns vor -> gut unterscheidbare Spektren

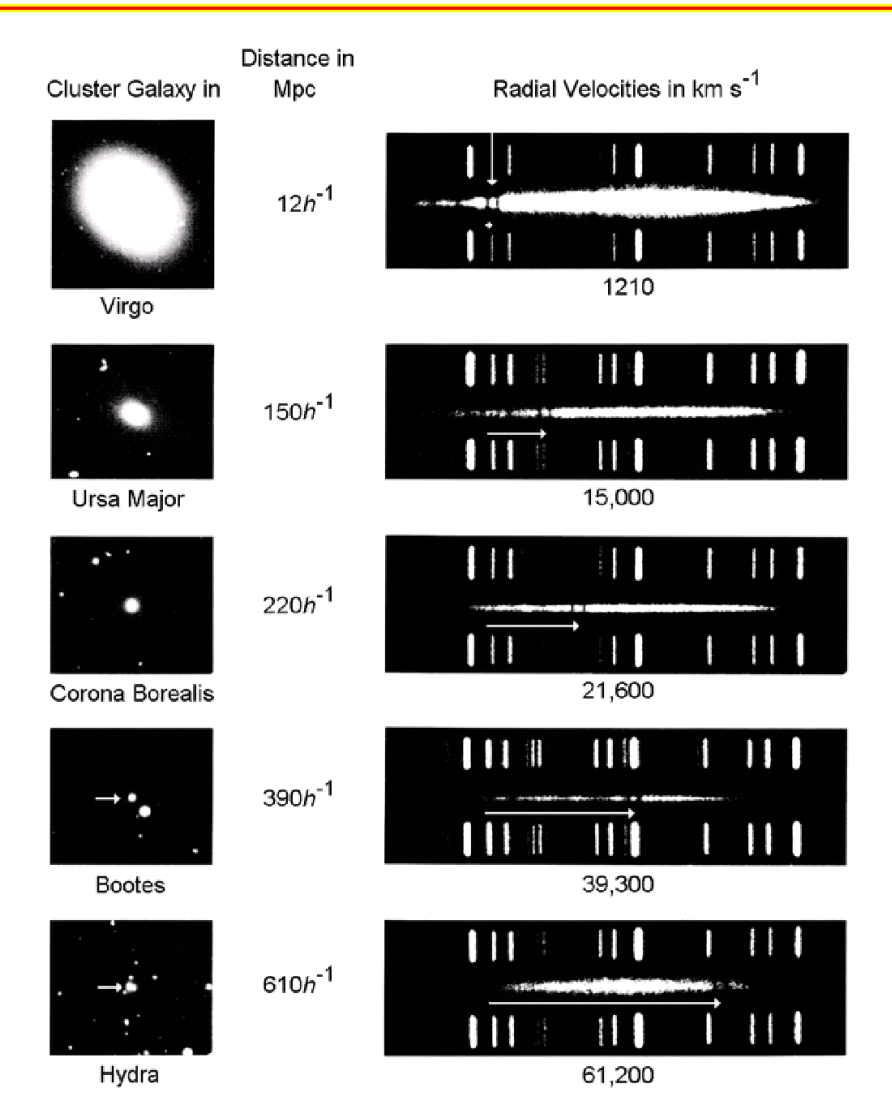


Der Urknall und die Expansion des Universums, Messung mit Hilfe der Rotverschiebung von Galaxien

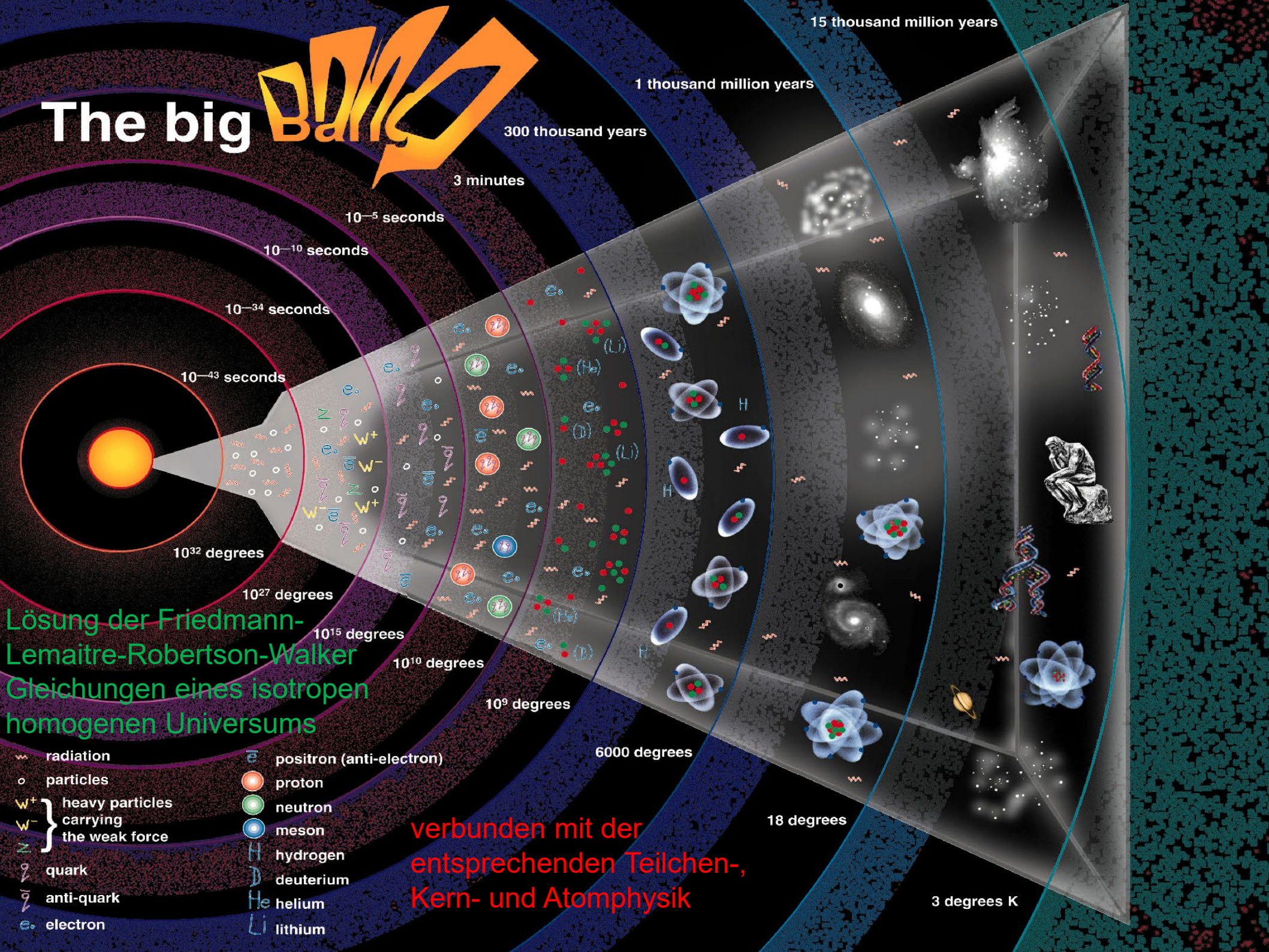
Rotverschiebung= $\frac{\Delta \lambda}{\lambda}$

Die Rotverschiebung der Ca H und K Atom-Linien ist wie eine Dopplerverschiebung der Frequenz auf Grund der Geschwindigkeit zu sehen, mit der sich die Galaxien von uns entfernen.

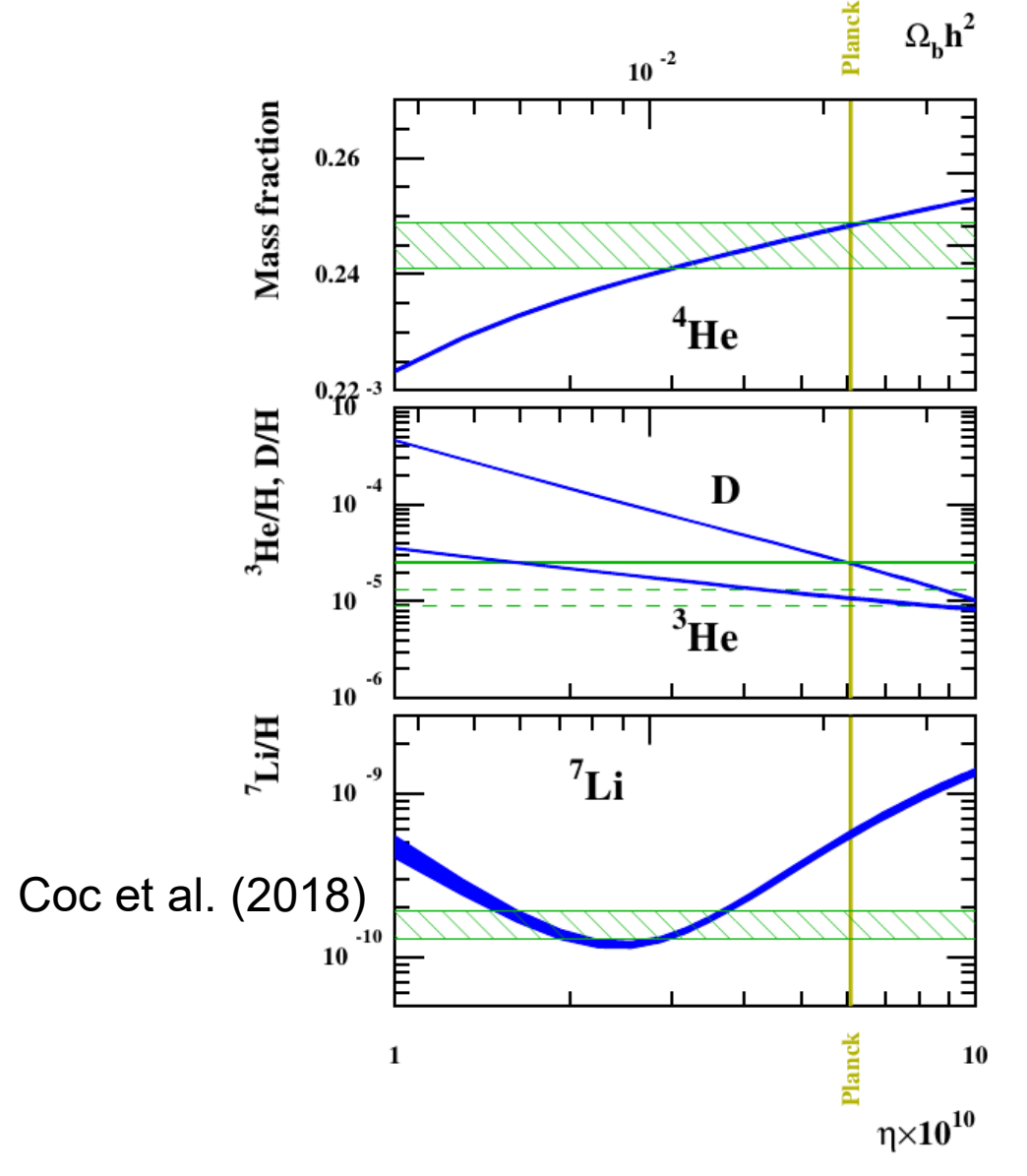
Je weiter weg, umso grösser die Geschwindigkeit. Das Universum expandiert homogen!



Die Expansion des Universums kann mit Hilfe der Hubble-Konstanten H (v=Hr) bestimmt werden (die Geschwingigkeit ist mit der Hubble-Konstanten proportional zum Abstand der Galaxie)



Primordiale Häufigkeiten



Die am Anfang der Galaxiengeschichte vorliegenden primordialen Häufigkeiten von ¹H, ²H, ³He, ⁴He und ⁷Li (waagerechte Linien) können verglichen werden mit Vorhersagen als Funktion von einem freien Parameter η (nicht bekannte Anfangsbedingung der Entropie).

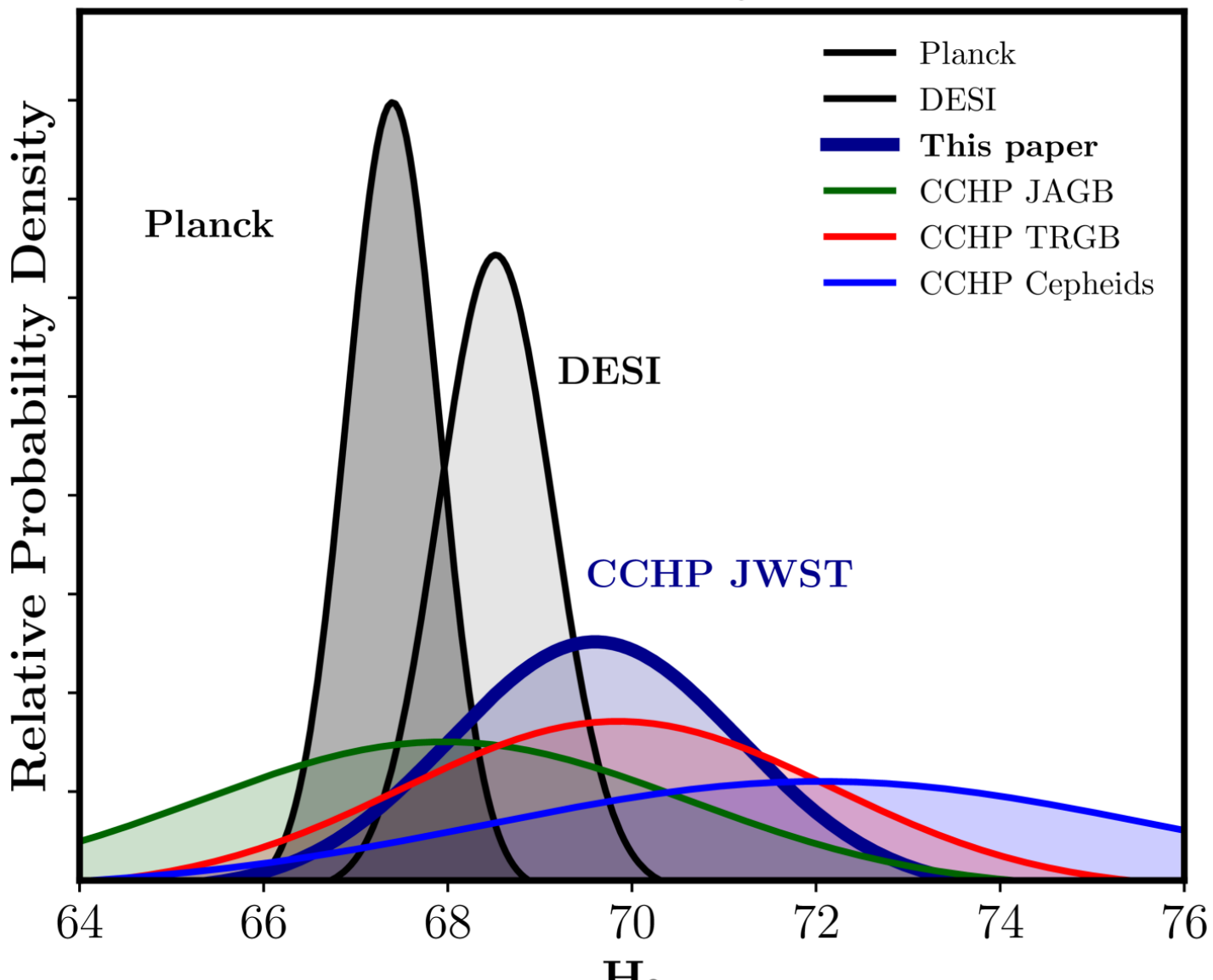
Der Wert η=6x10⁻¹⁰ entspricht der Messung der Hintergrundstrahlung mit dem Planck-Satelliten (Li ist wahrscheinlich in alten Sternoberflächen abgebaut).

Daraus folgt, dass nur etwa 4.8% der Gesamtenergiedichte des Universums aus uns bekannter baryonischer Materie besteht.

"freier" Parameter η, der das Baryonen/Photonen Verhältnis oder die Entropie des Universums misst (verknüpft mit Energiedichte und Hubble-Expansion)

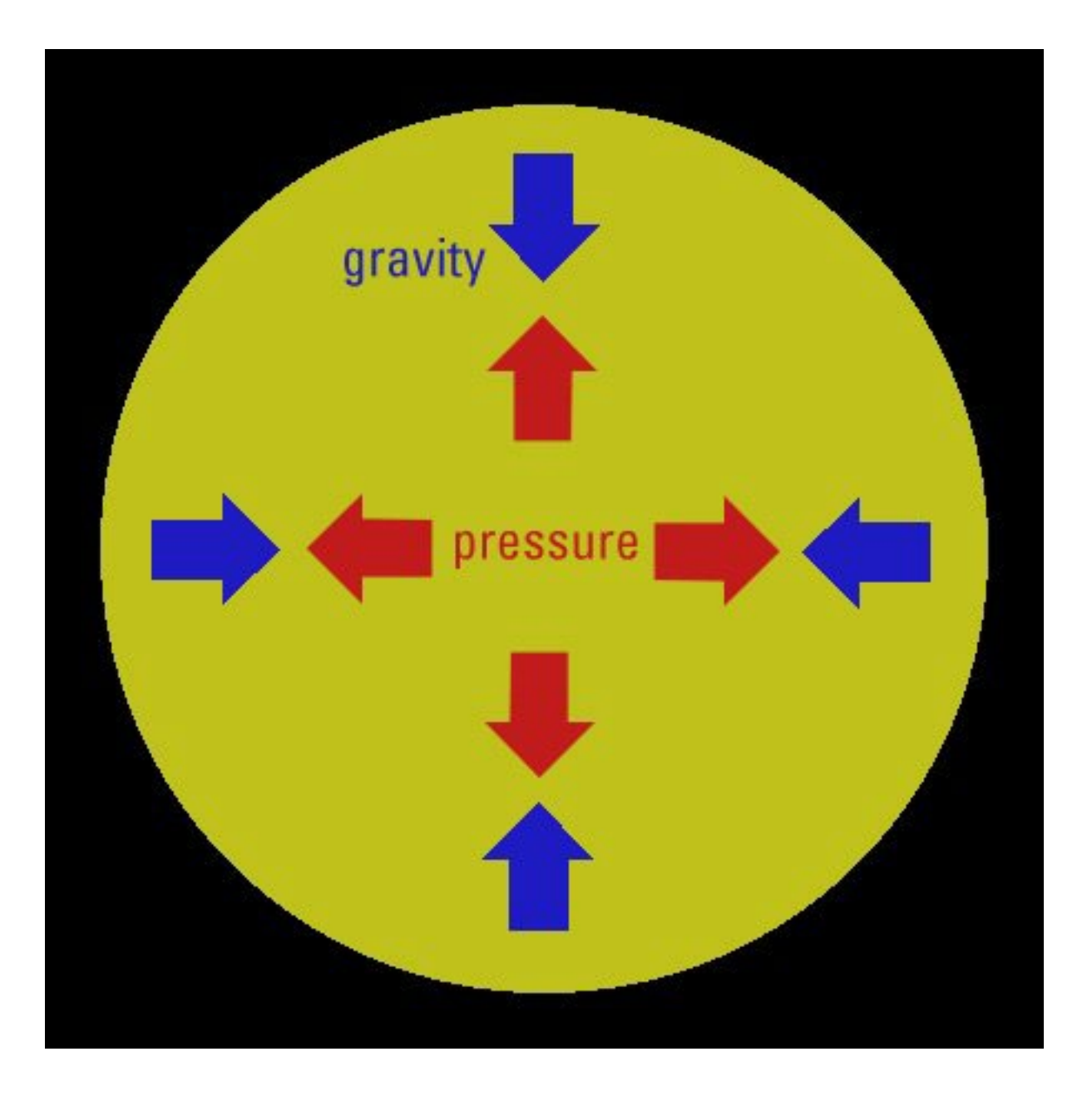
W. Freedman et al. (2024) aus Beobachungen mit Hilfe des neuen James Webb Teleskopes

CCHP JWST H₀ Values

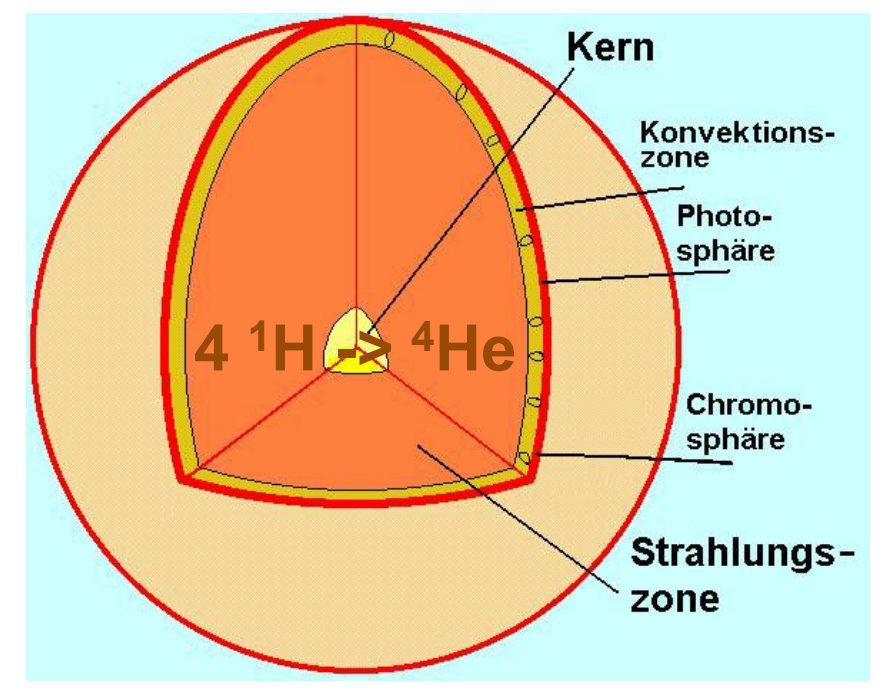


Fehlerverteilungen zur Bestimmung der Hubble-Konstanten aus unterschiedlichen Methoden [Planck und DESI Mikrowellenstrahlung aus dem Urknall, andernfalls aus Entfernungsmessungen mit Hilfe von Sternen: Cepheiden, Roten Riesen (TRGB) und speziellen Sternen auf dem asymptotischen Riesenast (JAGB)]. Die Resultate überlappen in ihren Fehlern und sind konsistent mit dem kosmologischen Standardmodell. Die in den letzten Jahren viel beschworende sogenannte Hubble-Tension (scheinbarer Widerspruch) kann damit vermieden werden.

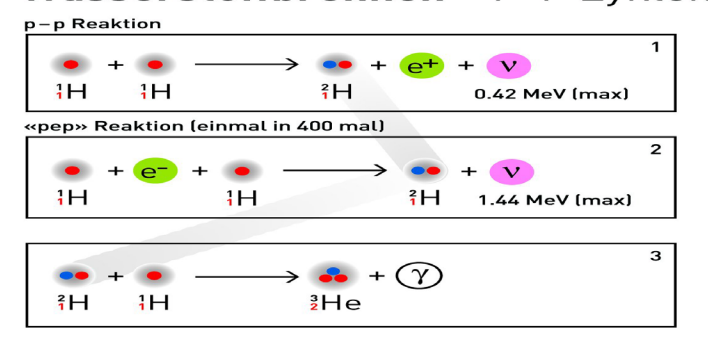
Warum sind Sterne stabil?

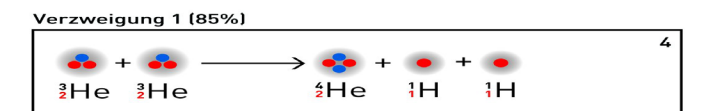


- Sterne würden durch ihre Masse unter ihrer Eigengravitation kollabieren
- sie werden stabilisiert durch den Druck des Gases aus dem sie bestehen, d.h. der Zustandsgleichung P=P(Dichte, Temp.)
- Kräftegleichgewicht



Wasserstoffbrennen – P-P Zyklen





Es wird Wasserstoff in Helium umgewandelt (verbrannt)

Struktur der Sonne

Wenn der Druck abhängig von Dichte und Temperatur ist, muss der Abkühlung durch Lichtabstrahlung durch neue Energiezufuhr ersetzt werden.

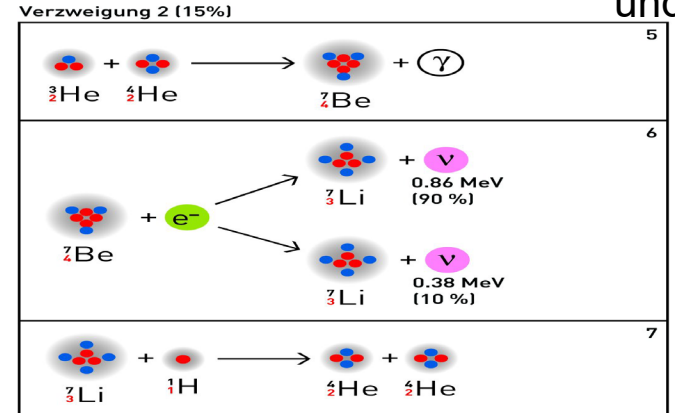
Energiezufuhr durch Kern-

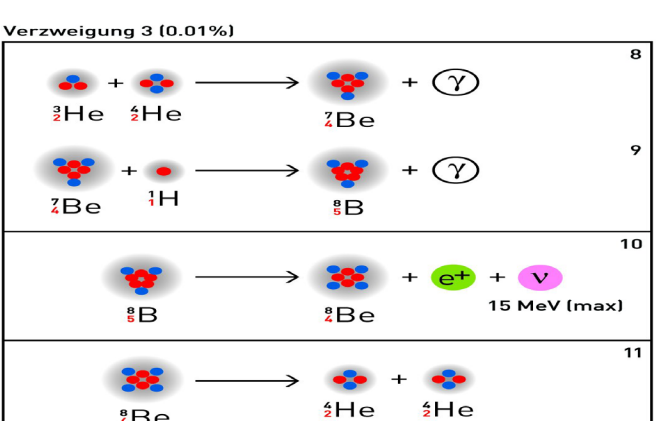
fusionen im zentralen heissen Core

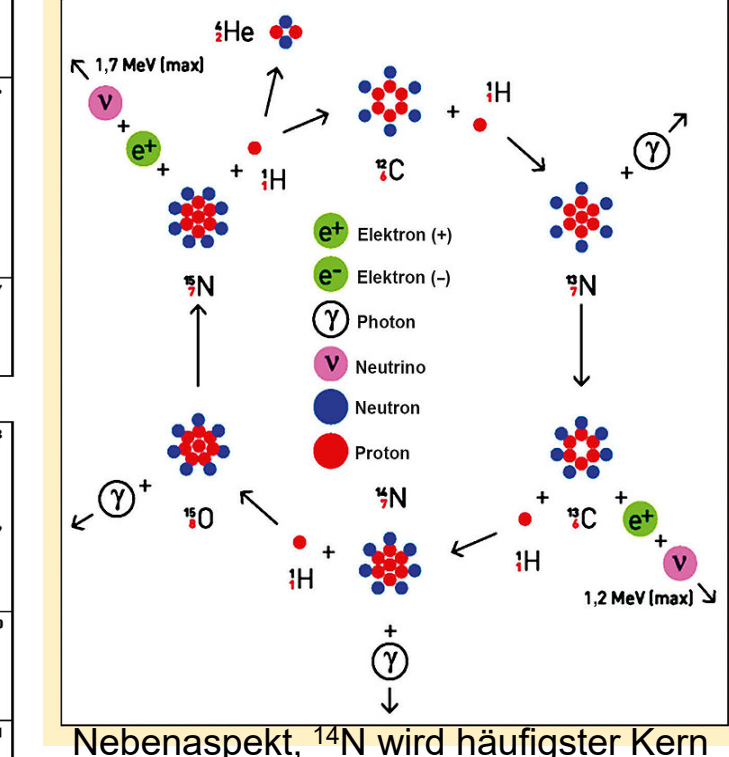
des CNO-Zvklus

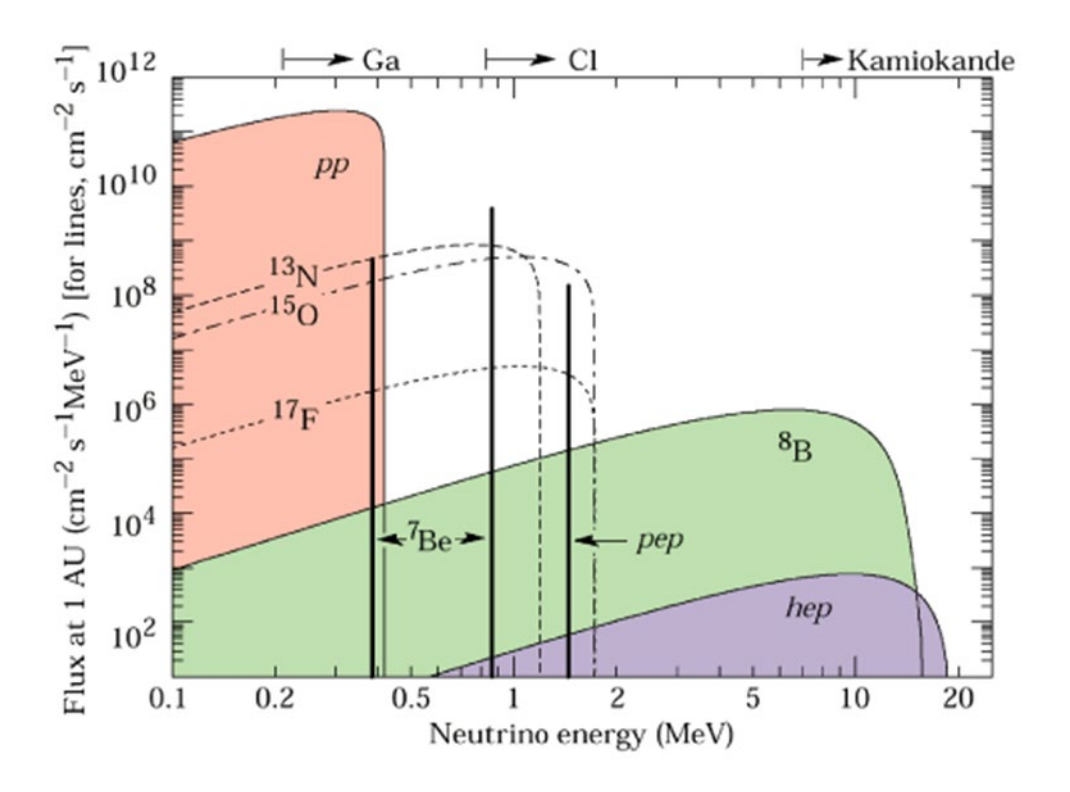
CNO-Zyklus bei massereicheren Sternen

und etwas höheren Temperaturen





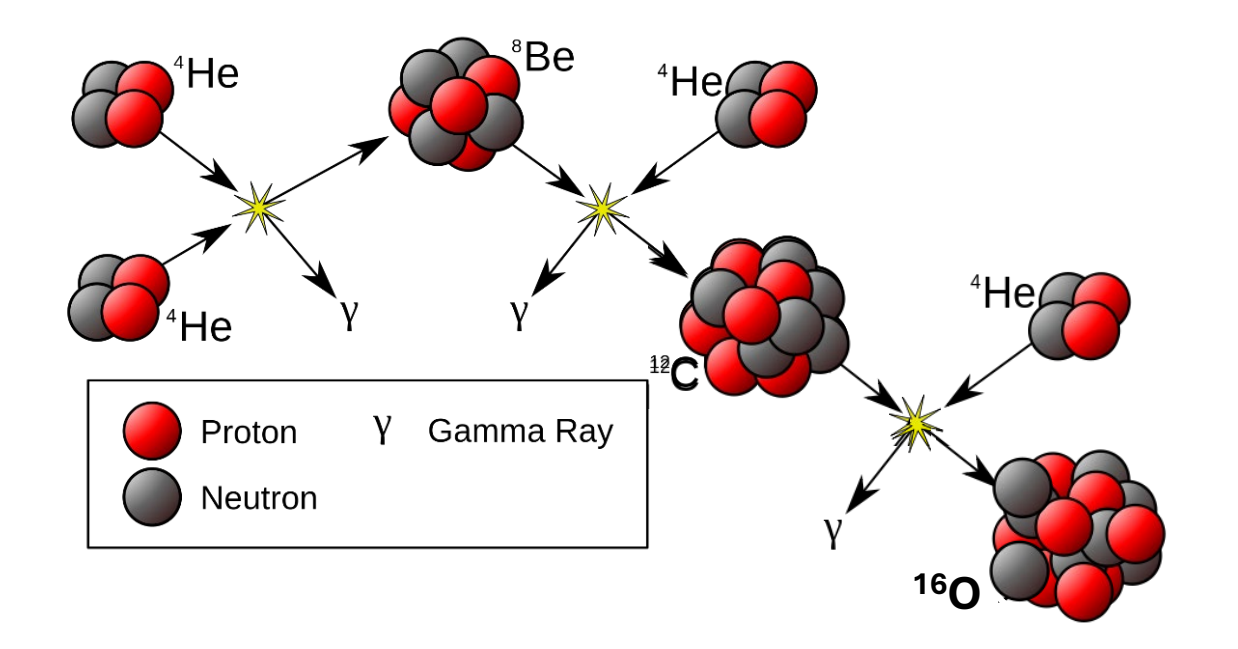




Erzeugtes Neutrino-Energiespektrum aus dem Wasserstoffbrennen der Sonne

Das sogenannte Solare Neutrinoproblem wurde durch Beobachtungen mit dem Sudbury Neutrino Observatory (SNO)₆₀ gelöst (Neutrino-Oszillationen, Nobelpreis für McDonald 2015)

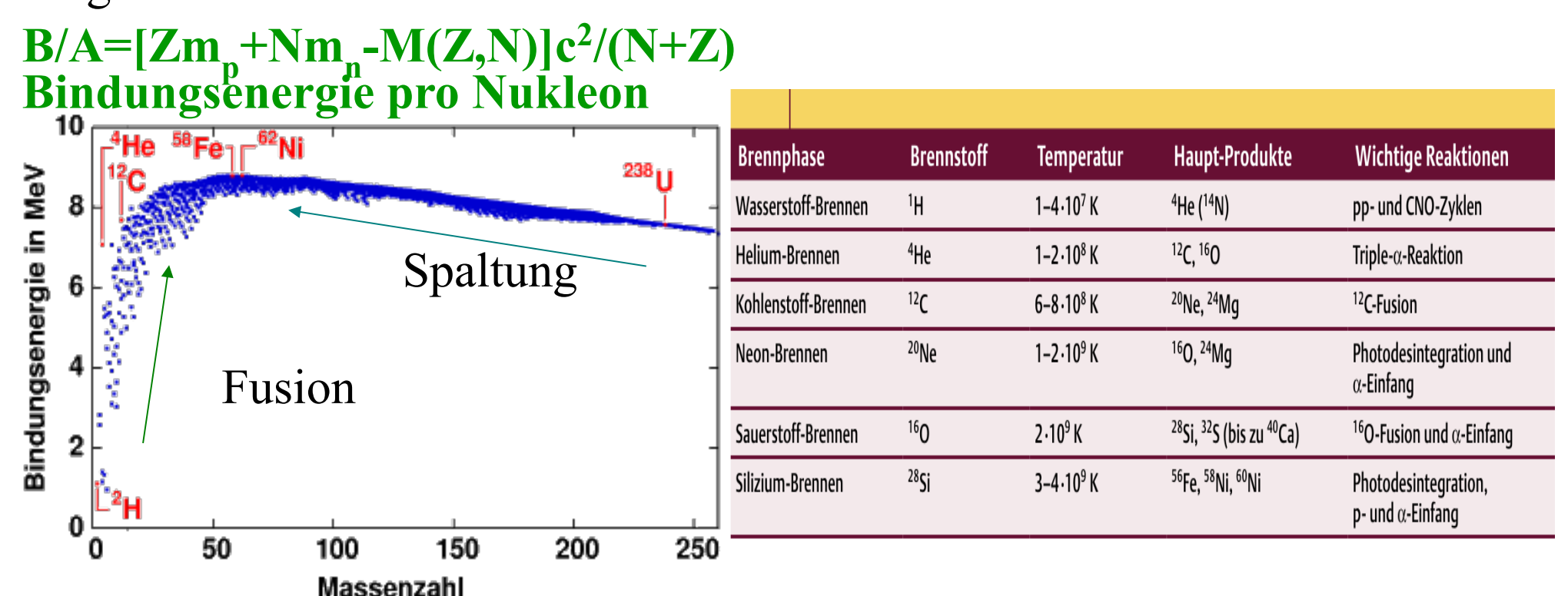
He-Brennen

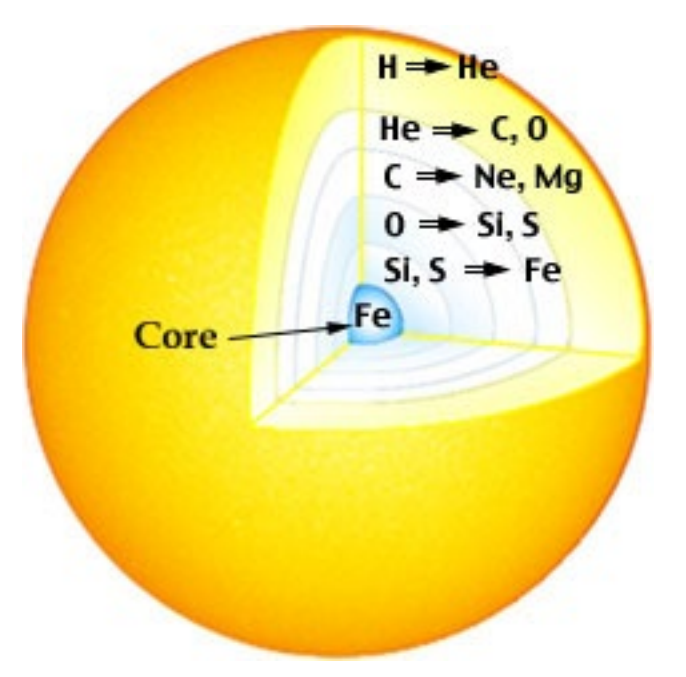


⁸Be ist hoch instabil und zerfällt in etwa 10⁻¹⁶s, d.h. nur unter Dichtebedingungen, die eine weitere Einfangreaktion zu ¹²C zulassen, kann diese Barriere zu schwereren Elementen überwunden werden (nicht der Fall im Urknall)

Weitere Brennphasen

Nachdem der Wasserstoff im Zentrum verbraucht ist, kontrahiert dieses. Bei der Kontraktion wird Gravitationsbindungsenergie frei, die zur Erhöhung der Temperatur führt. Das wiederum ermöglicht die Fusion schwererer Atomkerne (erst Helium, dann Kohlenstoff, etc.), da bei Kollisionen mit höherer Geschwindigkeit die elektrostatische Abstossung der schwereren positiv geladenen Atomkerne überwunden warden kann. Bis zur Erzeugung von Elementen wie Fe und Ni wird dabei Energie freigesetzt.





massereiche Sterne mit mehr als 8 Sonnenmassen durchlaufen alle Brennphasen bis zum Siliziumbrennen

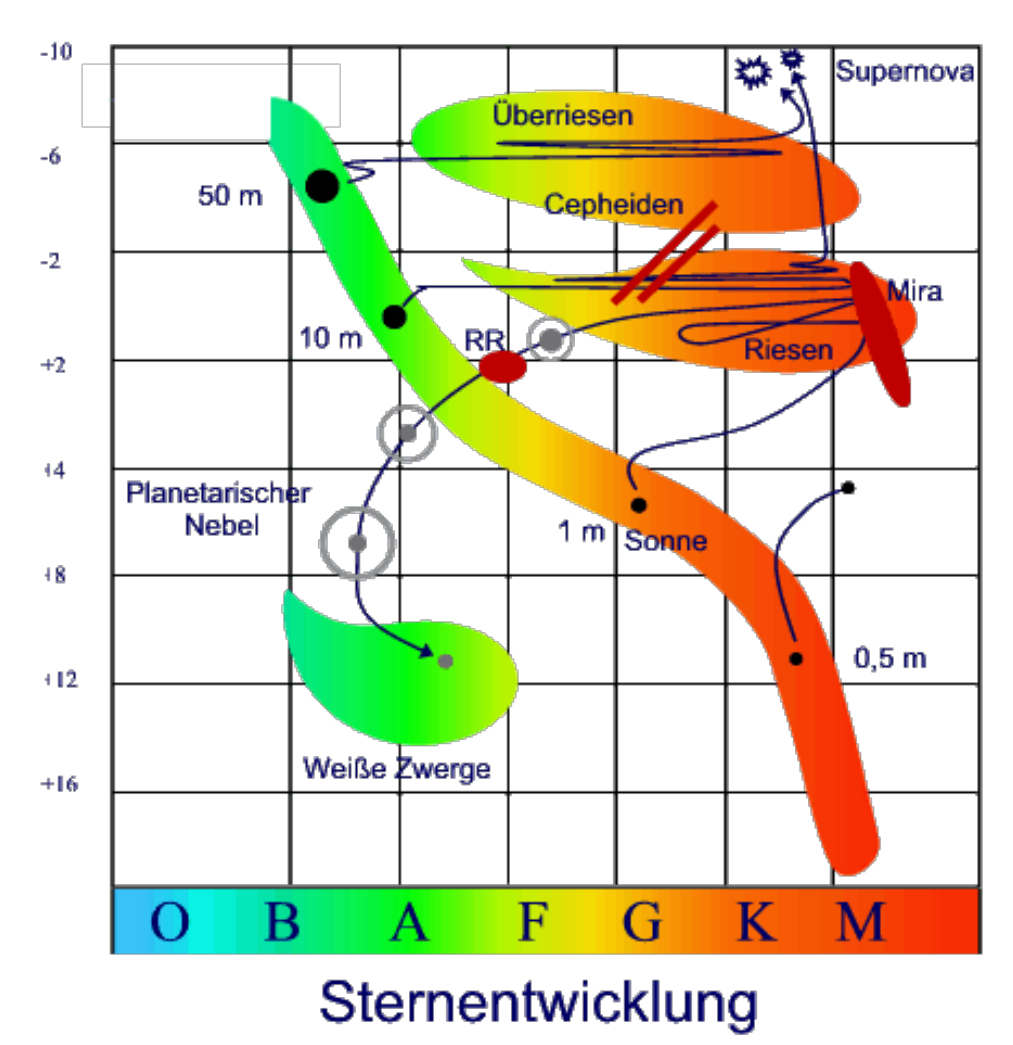
masseärmere Sterne durchlaufen nur das Wasserstoffund Heliumbrennen und werden weisse Zwerge (mit der Maximalmasse von 1.4 Sonnenmassen) nachdem die äusseren Hüllen als Wind abgeblasen worden sind. (Objekte unterhalb dieser Grenzmasse lassen sich auf Grund des Drucks des Elektronengases nicht so weit komprimieren, dass Temperaturen für das Kohlenstoffbrennen erreicht würden)



Planetarische Nebel sind abgeblasene Sternwinde und enthalten im Endstadium im Zentrum Weisse Zwerge

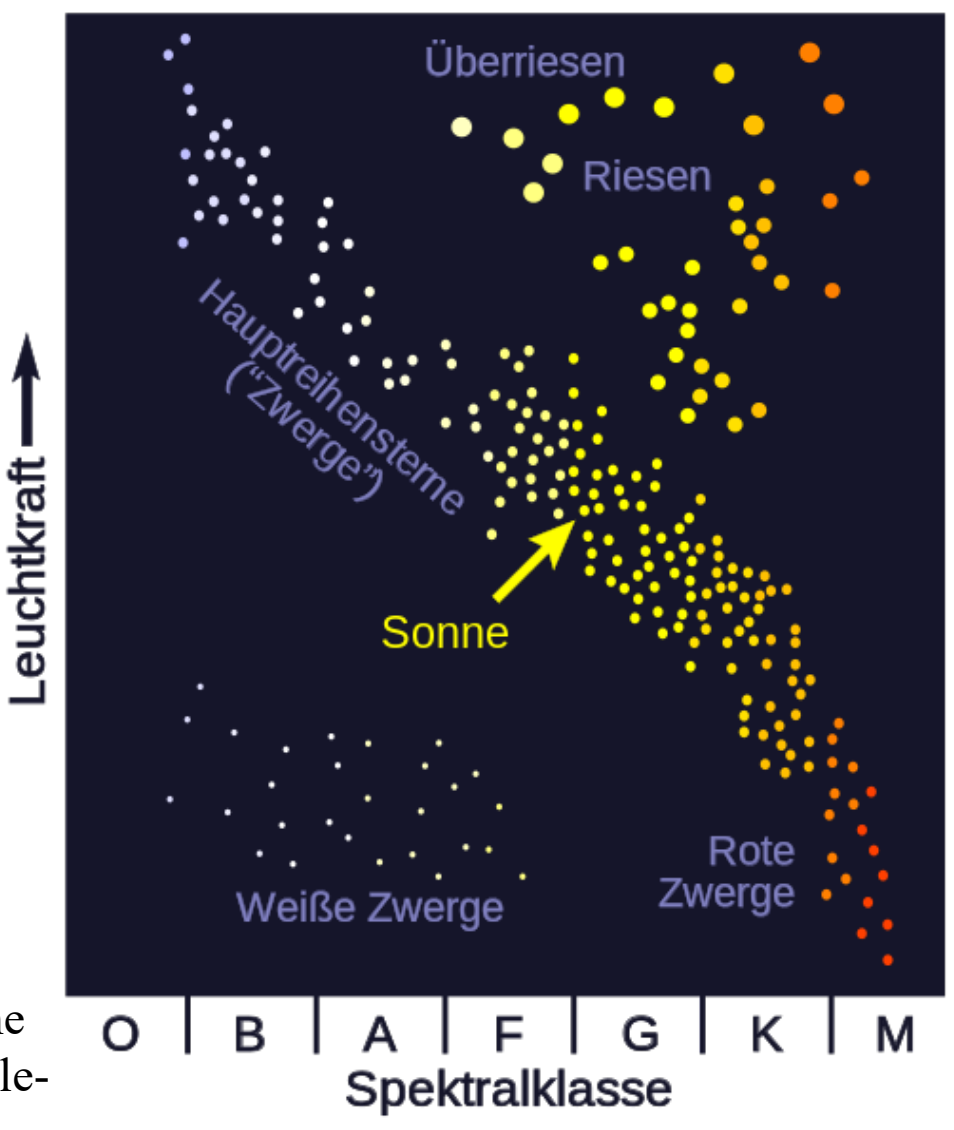
Entwicklungswege im Hertzsprung-Russell-Diagramm

Als Funktion der Zeitentwicklung für Sterne unterschiedlicher Masse



beinhaltet auch Cepheiden, Rote Riesen, Asymptotische Riesenaststerne, wie sie bei der Bestimmung der Hubble-Konstanten benutzt wurden (1m = Sonnenmasse)

Als Schnappschussbeobachtung zu einem festen Zeitpunkt



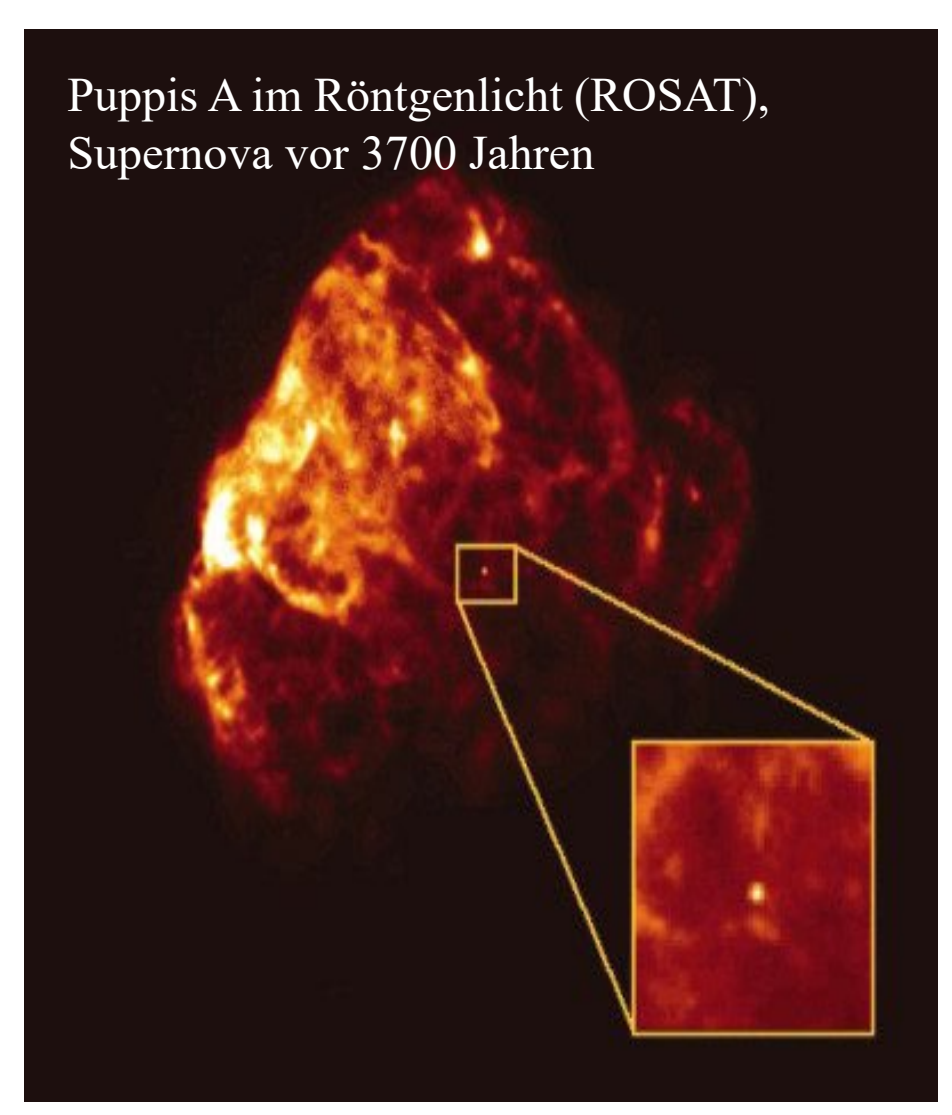
Supernova 1987A (nach und vor Explosion)



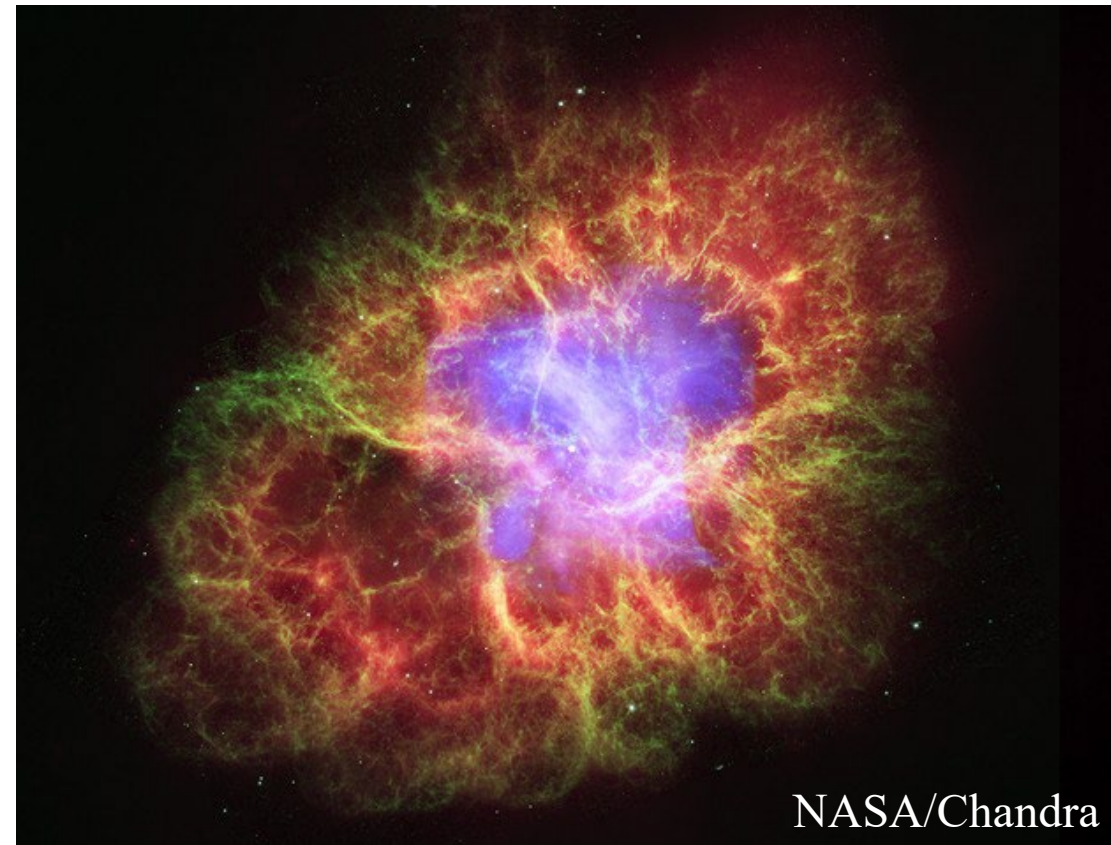
Zusätzlich wurden Stunden vor dem Ausbruch durch mehrere Detektoren (hauptsächlich Kamiokande in Japan) Neutrinos gemessen, die einer Gesamtenergie von etwa 10⁵³erg entsprachen (10⁴⁶ J)

© Anglo-Australian Observatory

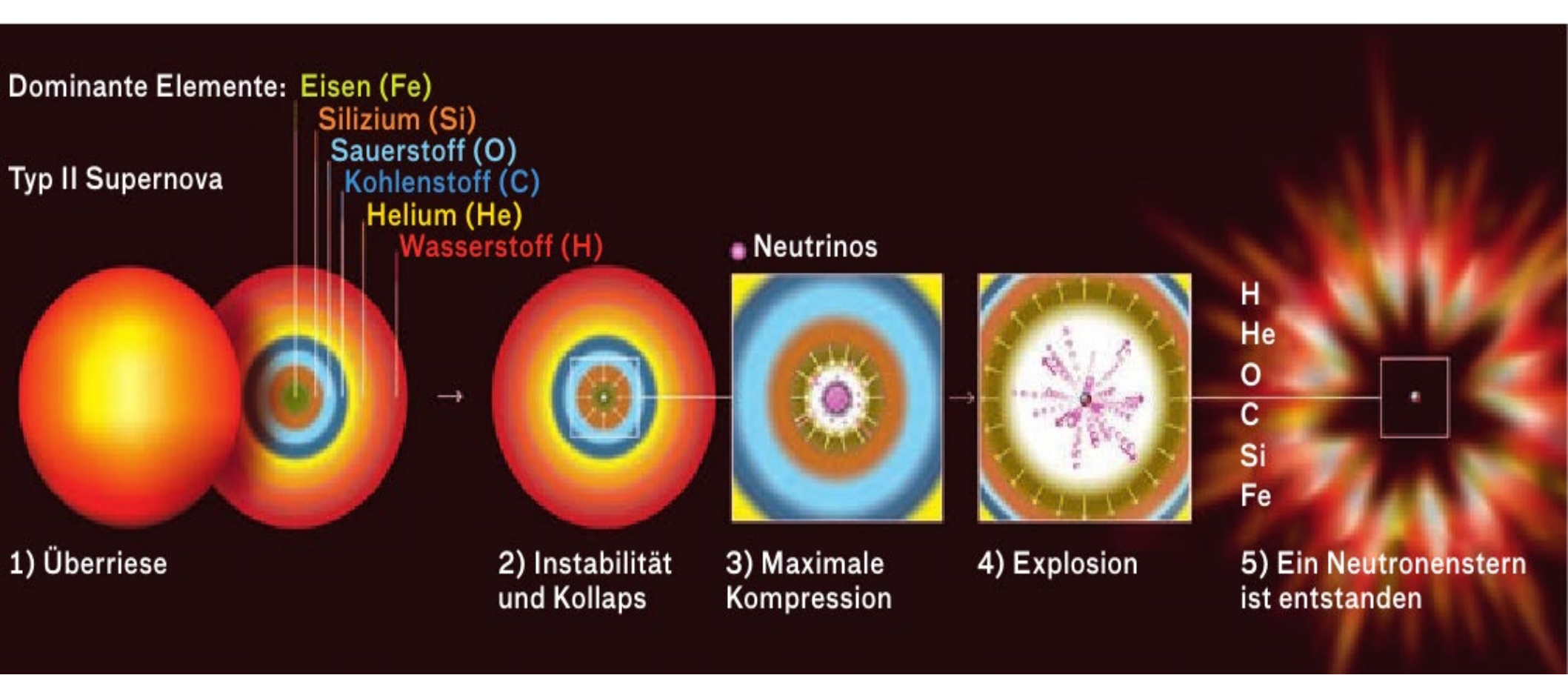
Der Neutronensterne in Supernova-Ueberresten



Krebsnebel, Explosion vor 1058 Jahren

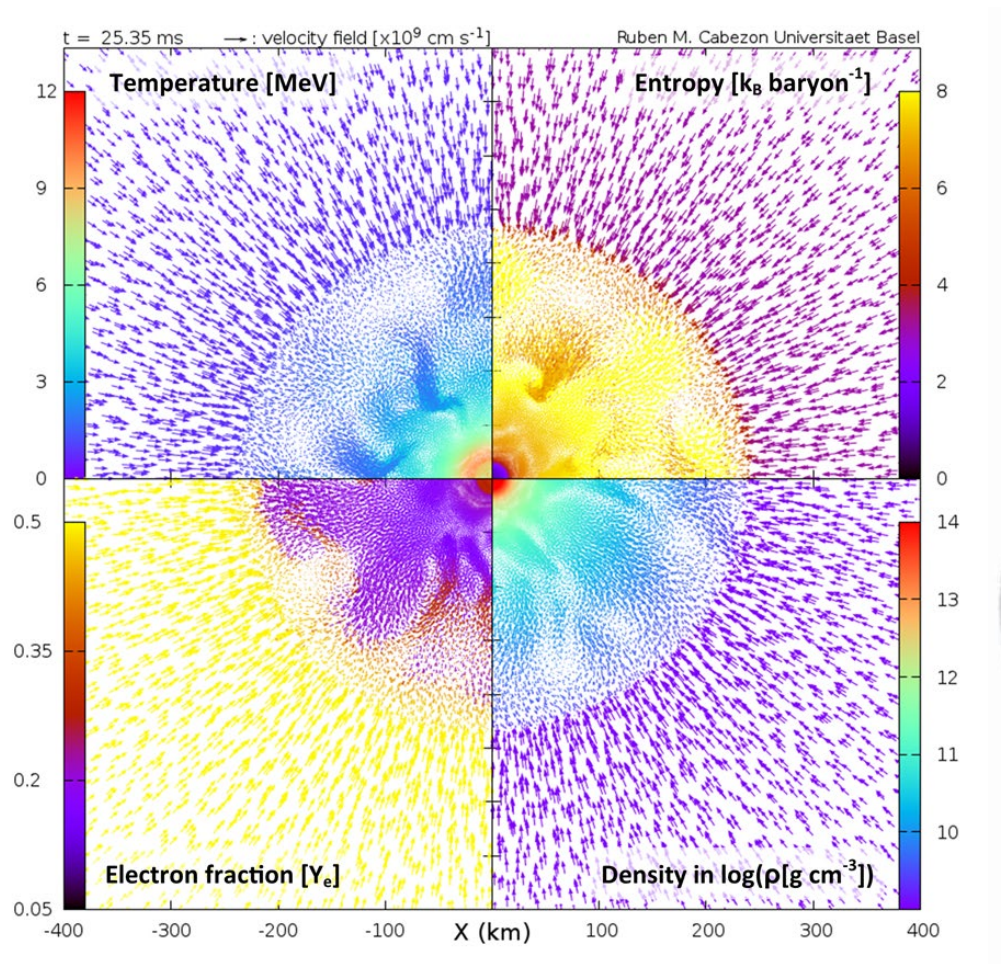


Core-Kollaps-Supernovae und Neutronensterne als Endstadium massereicher Sterne



nach Durchlaufen aller Brennphasen kollabiert der Fe-Core zu einem heissen Proto-Neutronenstern, der durch Neutrinoabstrahlung kühlt, welche wiederum die umgebende Hülle aufheizen und mit einer explosiven Stosswelle abwerfen - oberhalb von ursprünglich 20-40 Sonnenmassen entstehen Schwarze Löcher

Die Wirklichkeit ist etwas komplizierter: drei-dimensionale Simulationen



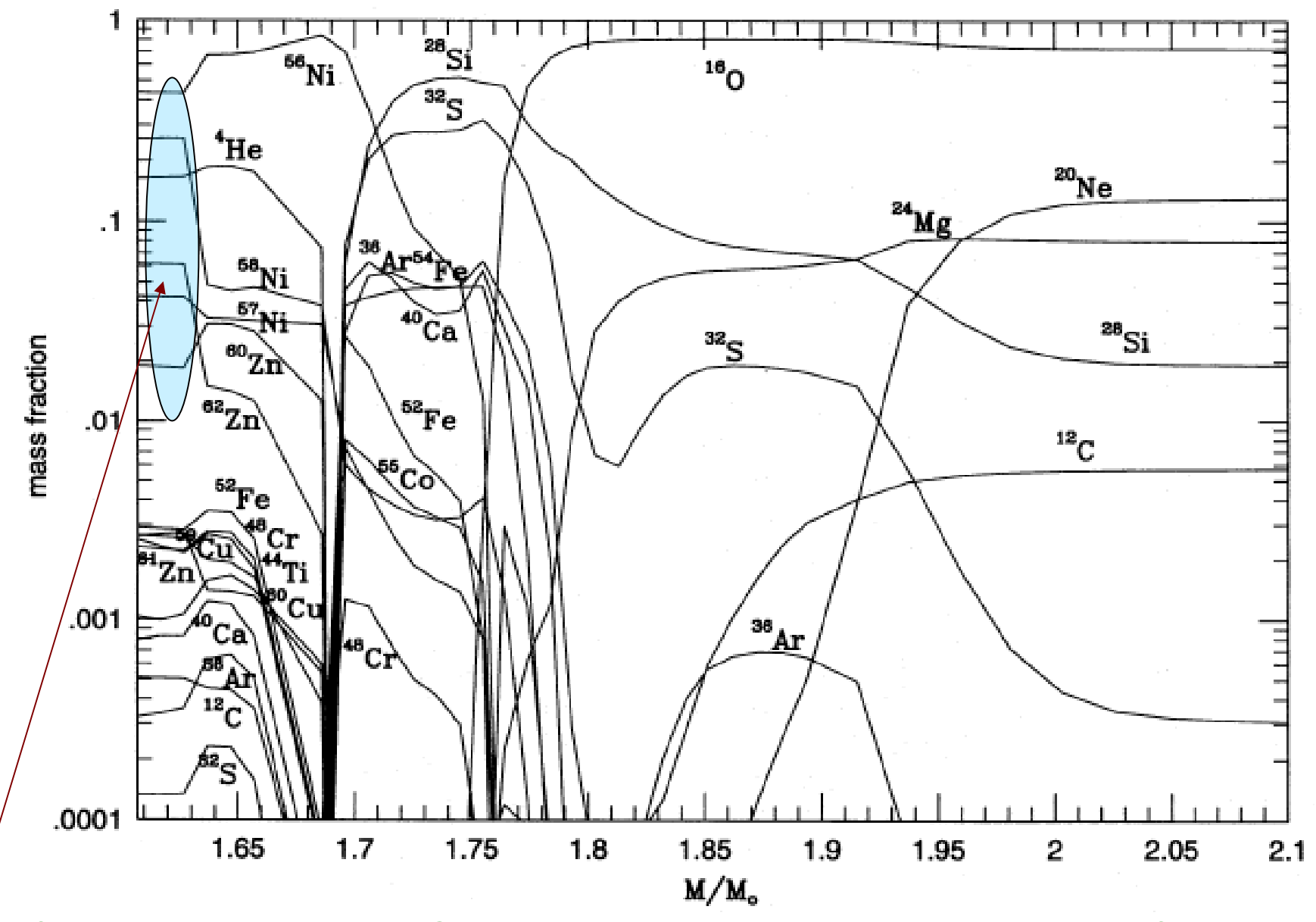
Anfangsphase: Heizen durch die Energie der ausströmenden Neutrinos, sich bildender zentraler Neutronenstern und turbulentes Verhalten innerhalb der sich bildenden Stossfront (R. Cabezon 2024)

Die Reaktionen $\overline{v} + p -> n + e^+$ und $v + n -> p + e^-$ heizen und bestimmen das Verhältnis n/p bzw. Ye.



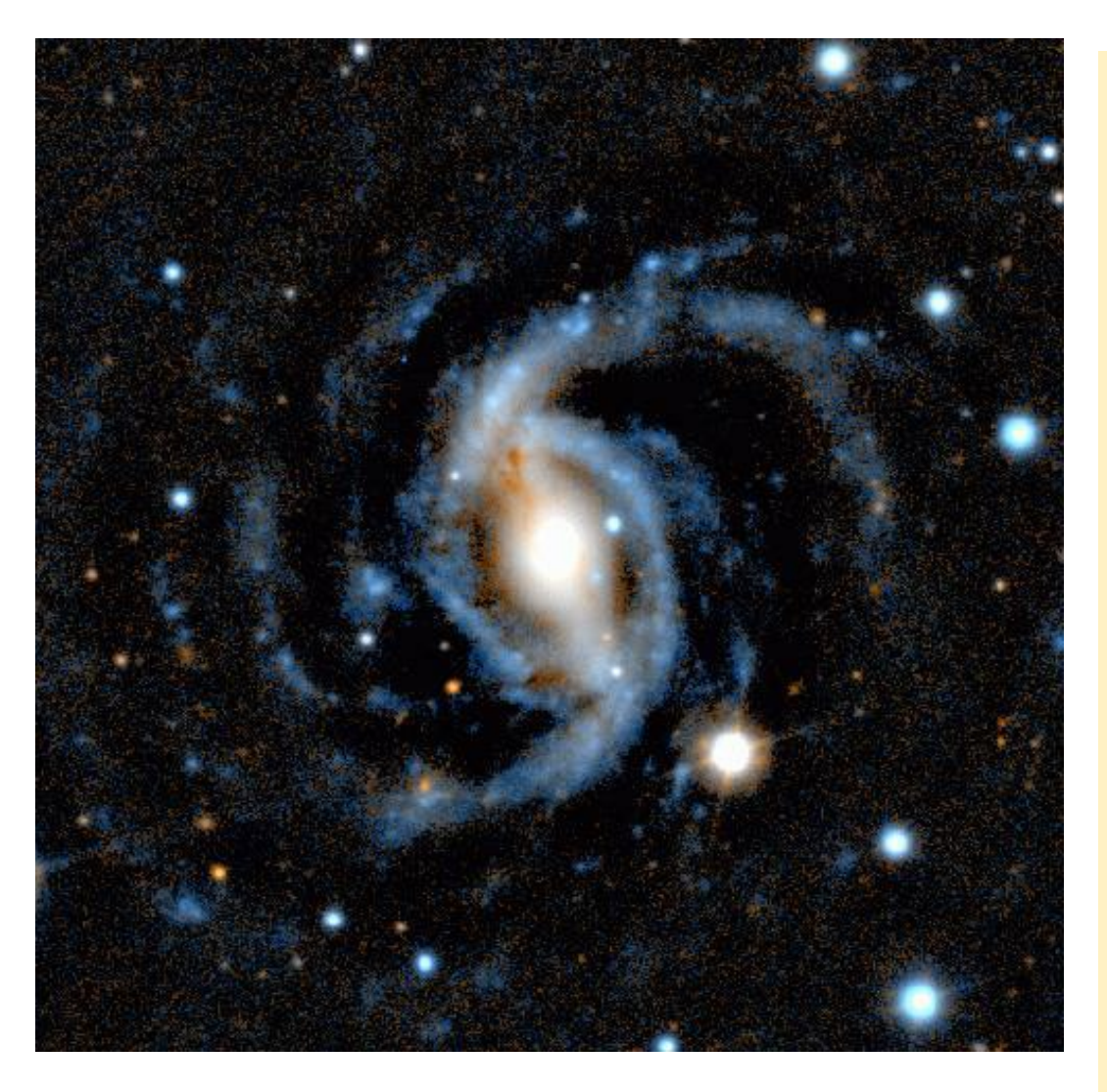
Die Explosion ejektiert sowohl neutronenwie protonenreiches Material (Ye grösser/ kleiner 0.5 – siehe Farbgebung) (Burrows 2021)

Ergebnis der explosiven Nukleosynthese

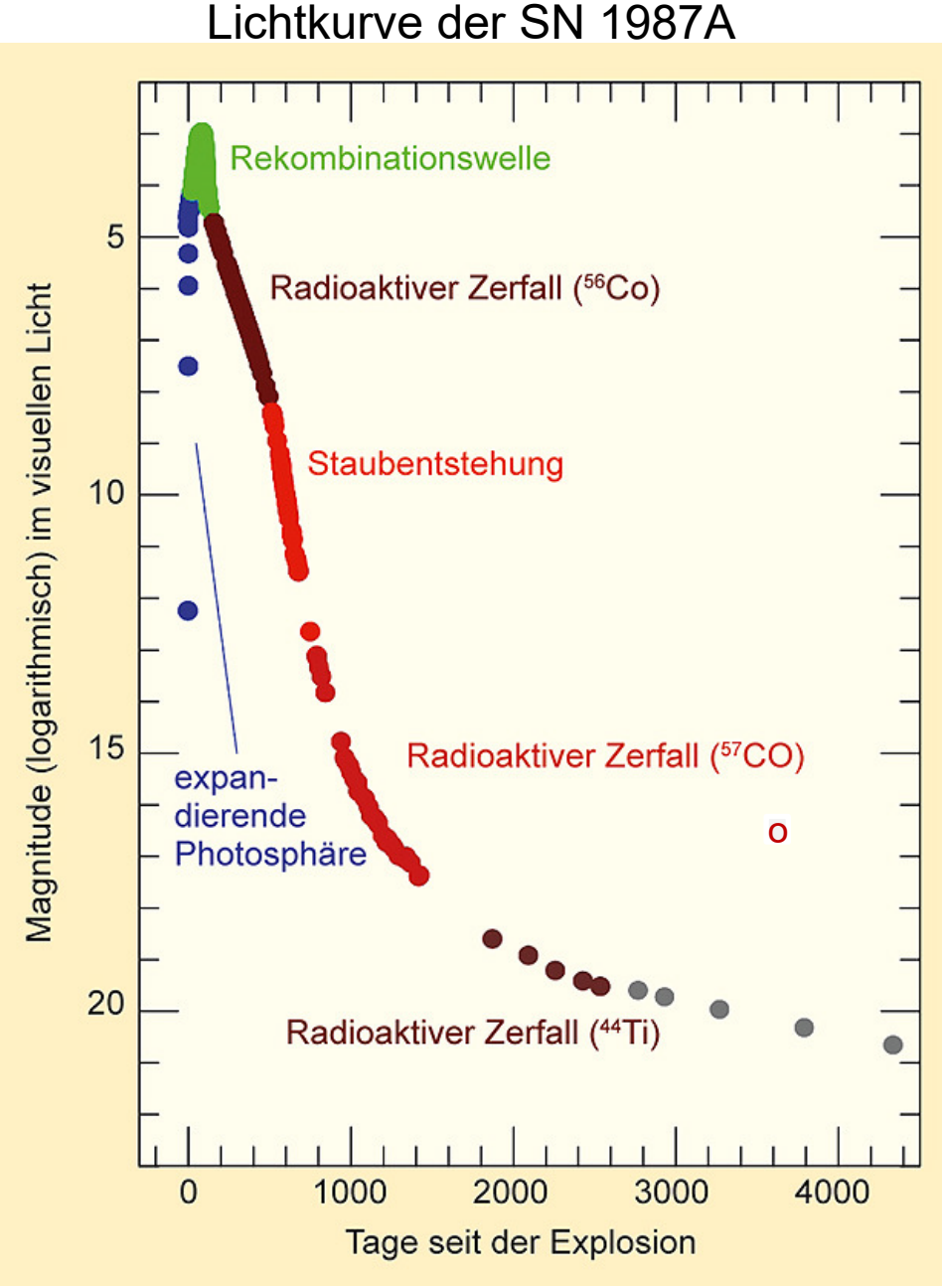


Häufigkeitsprobleme der Fe-Gruppe in innersten Zonen durch Neutrinoeinfluss behoben (Fröhlich et al. 2006, Ebinger et al. 2020, Ghosh, Wolfe, Fröhlich 2022)

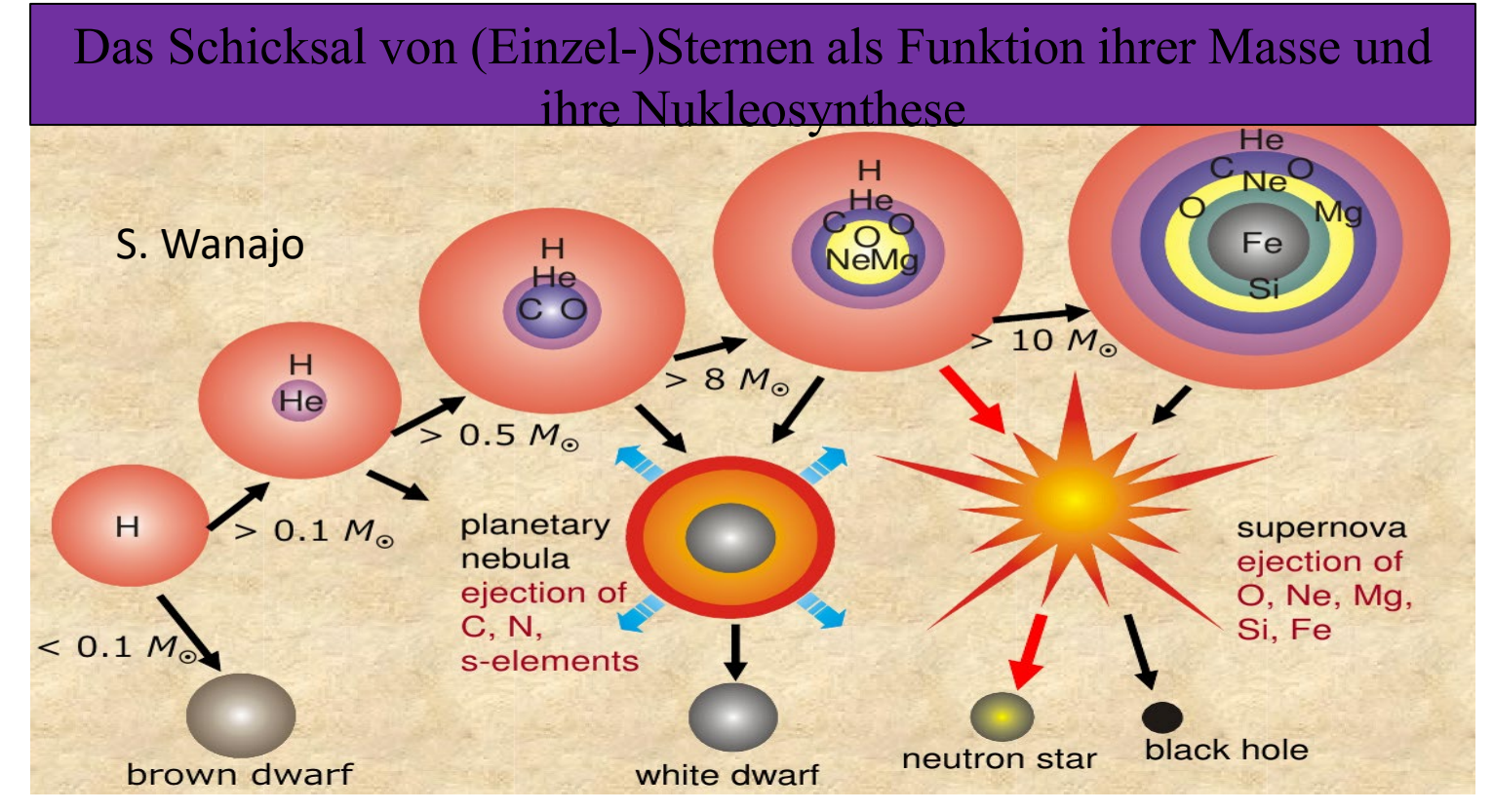
Supernovaexplosionen, so hell wie Galaxien



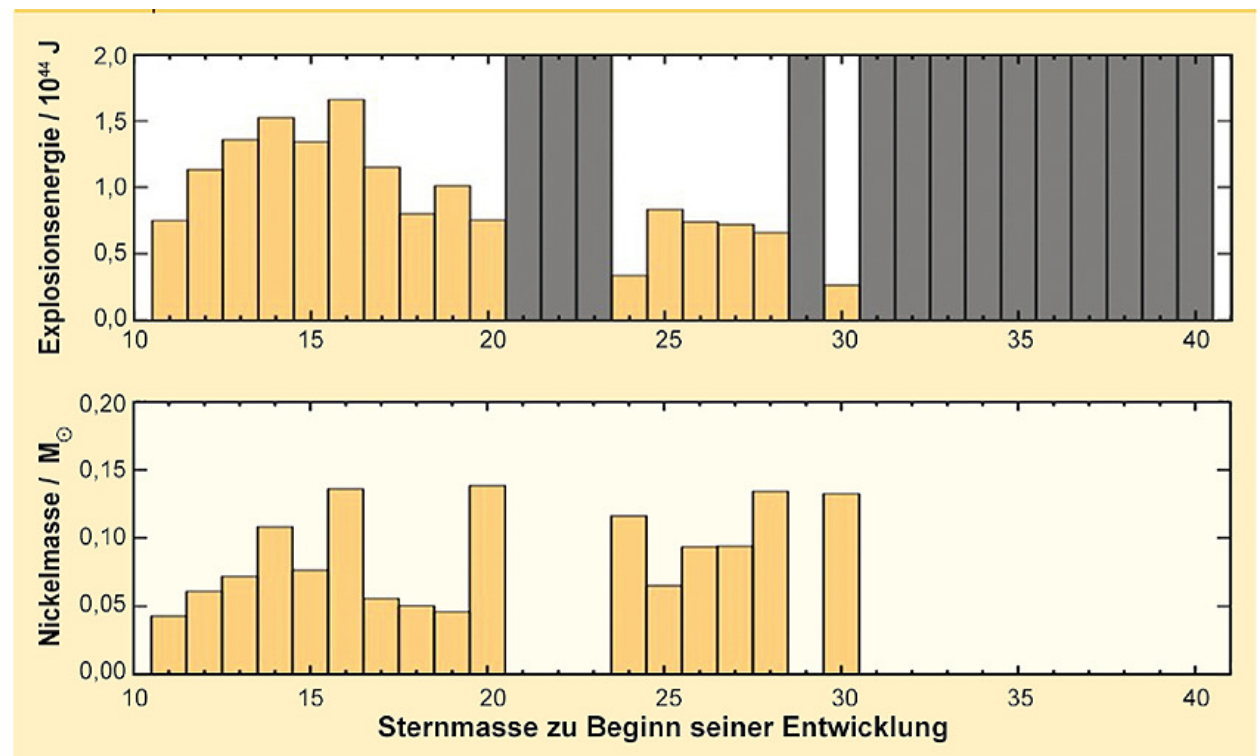
Galaxie NGC5921 mit Supernova



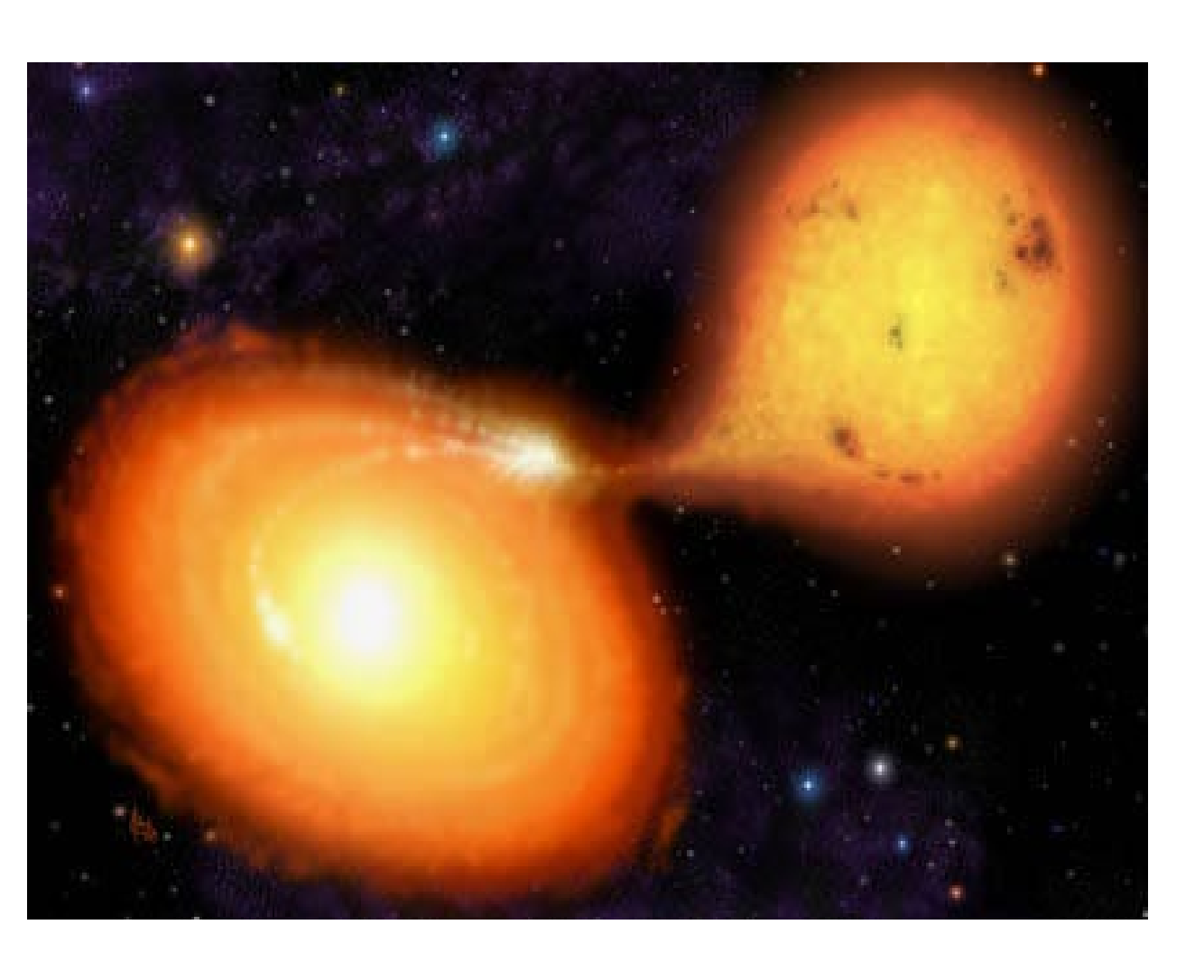
In den innersten explosiv prozessierten Massenzonen, werden Atomkerne mit hohen Bindungsenergien erzeugt, d.h. um Fe/Ni/Zn. ⁵⁶Ni ist ein «doppelt magischer» Kern (N=Z=28) ->⁵⁶Co->⁵⁶Fe



K. Ebinger et al. (2020) Explosionsenergie und ausgestossene Nickelmasse ⁵⁶Ni->⁵⁶Co->⁵⁶Fe



Massenaustausch in Doppelsternsystemen

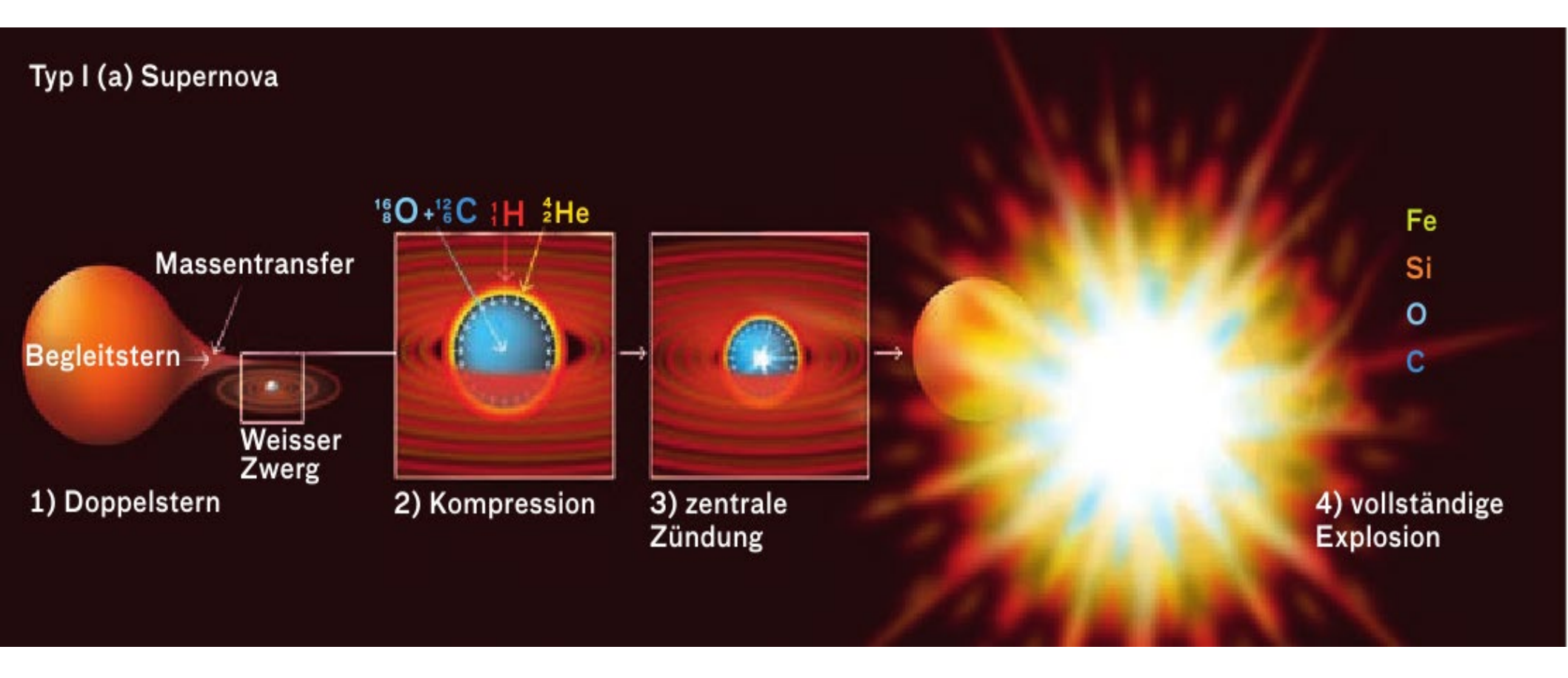


durch Anwachsen des Radius eines Sterns (z.B. Roter Riese) wird der Abstand zu seinem Zentrum so gross, dass die Gravitionskraft in Richtung auf den Begleiter grösser ist (Massentransfer)

aus der Hülle lagert sich unverbrannter Wasserstoff an

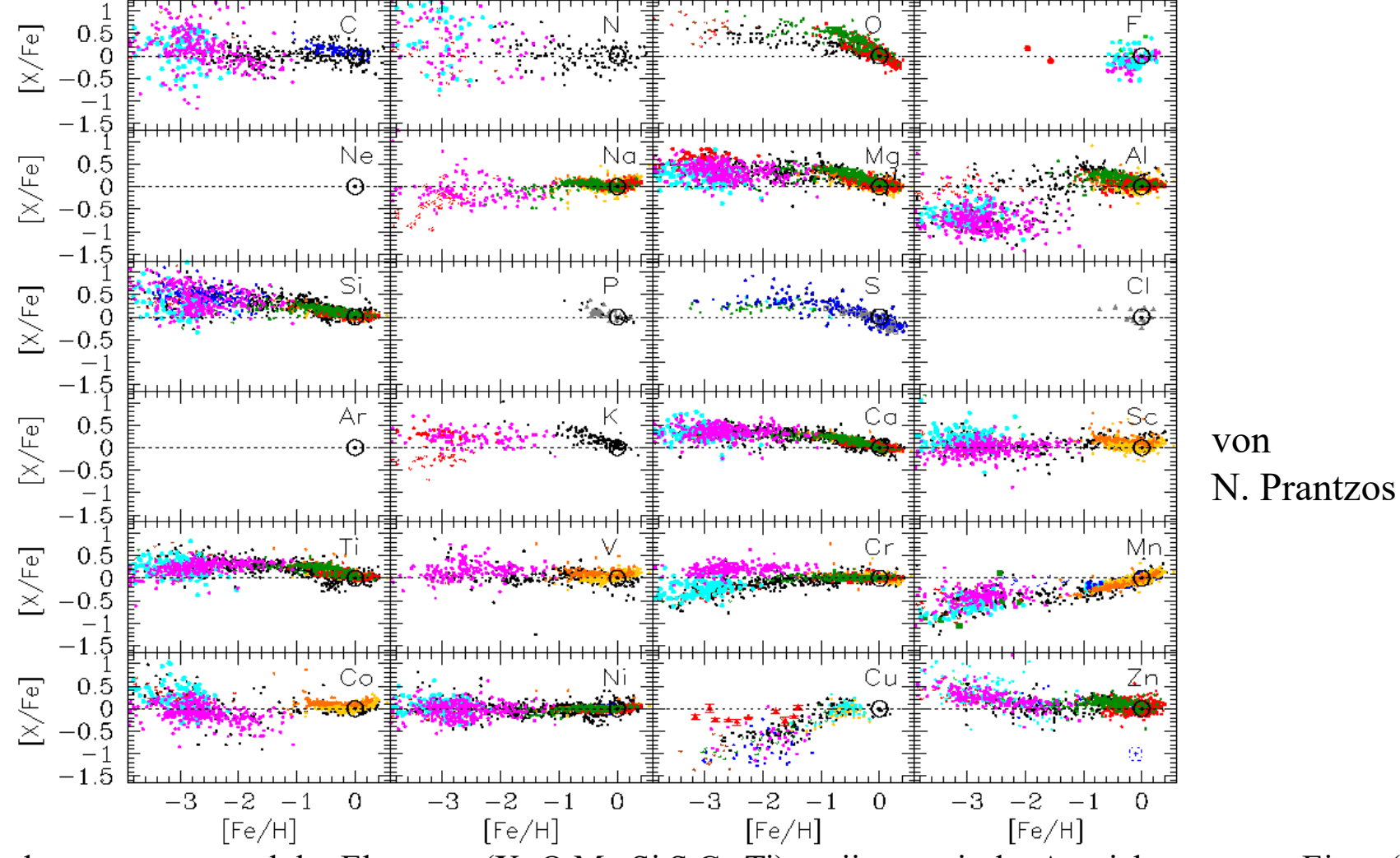
bei Erreichen einer Grenzmasse zündet explosives Wasserstoffbrennen (Nova auf weissem Zwerg, Röntgenburst auf Neutronenstern)

Typ Ia-Supernovae durch Massenübertrag in Doppelsternsystemen

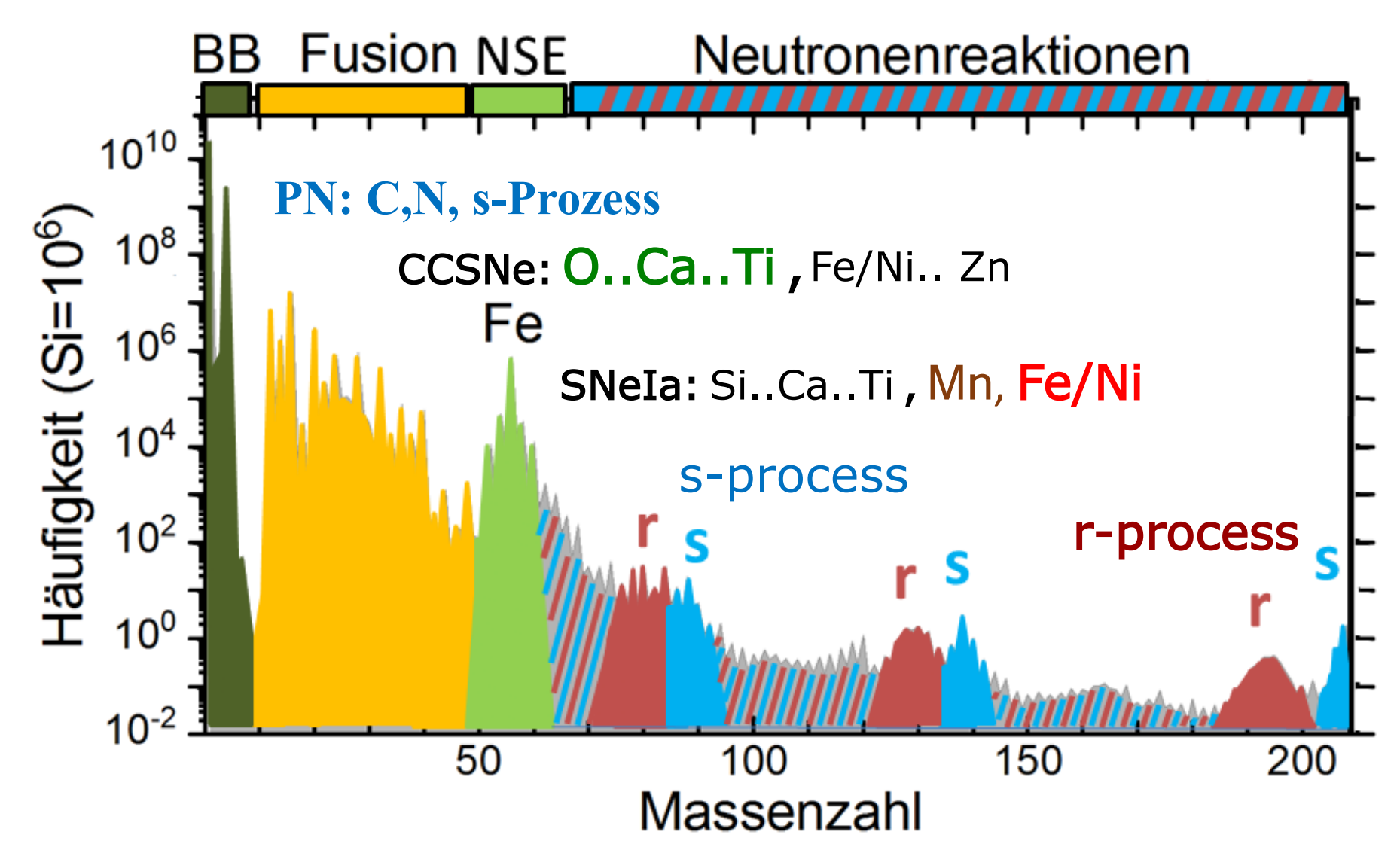


ein weisser Zwerg in einem Doppelsternsystem wächst durch (stärkerem) Massenübertrag (oberhalb einer kritischen Grenze) zur maximalen Chandrasekharmasse, der WZ wird instabil, kontrahiert, zündet und explodiert vollkommen (etwa 0.6 Sonnenmassen ⁵⁶Ni->⁵⁶Fe werden erzeugt).

Spektren alter Sterne informieren über die Elemententwicklung in unserer Galaxie (der Milchstrasse)

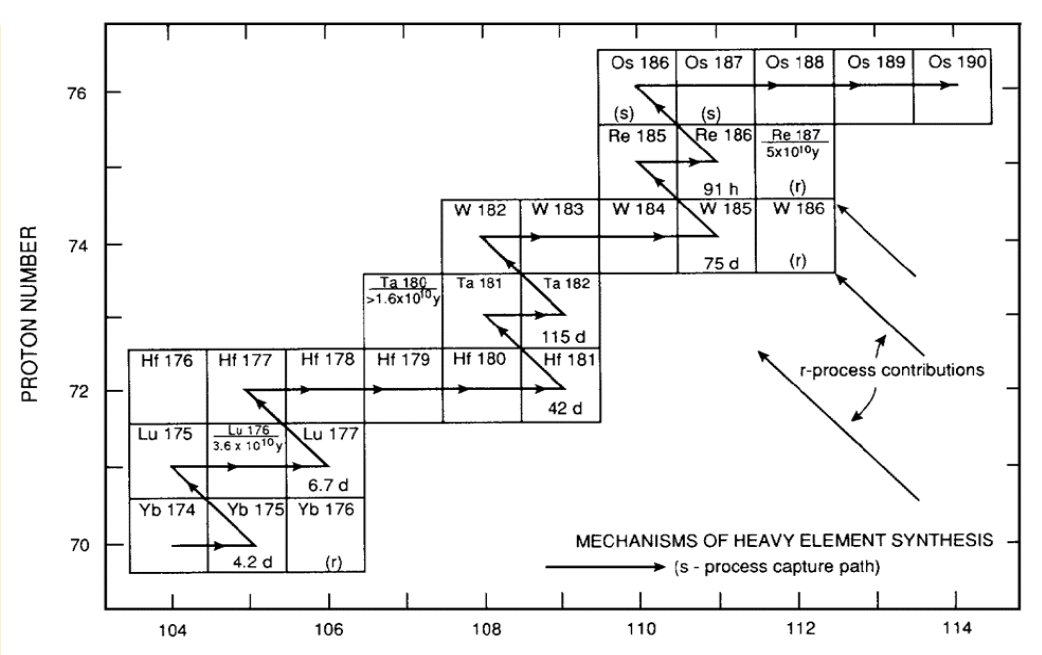


Die Verhältnisse der sogenannten alpha-Elemente (X=O,Mg,Si,S,Ca,Ti) variieren mit der Anreicherung von Eisen (Fe), d.h. der Zeit. Anfänglich (verursacht durch Core-Kollaps-Supernovae) sind die Verhältnisse zu Fe (z.B. O/Fe) grösser als das solare Verhältnis (logarithmisch = 0, 0.5 bedeutet einen Faktor 3 grösser als das solare Verhältnis). Im Laufe der Entwicklung kommen verspätet Typ Ia-Supernovae zum Zuge: (a) massearme Sterne entwickeln sich langsam um Weisse Zwerge zu bilden, (b) die Entwicklung eines Doppelsternsystems mit weissem Zwerg bis zur Typ Ia-Supernovaexplosion benötigt ebenfalls Zeit. Typ Ia-Supernovae erzeugen grosse Mengen an Eisen (Fe) und reduzieren das Verhältnis der alpha-Elemente zu Fe. [Fe/H]=-1 entspricht 1 Milliarde Jahren, -2 100 Millionen Jahren



Langsamer (s=slow) und schneller (r=rapid) Neutroneneinfang Erste Ideen 1957 von B²FH und Cameron mit der Postulierung von H- und He-Brennen, alpha-Prozess, e-Prozess, x-Prozess und r- und s-Prozess.

s-Prozess (slow neutron capture)



NEUTRON NUMBER

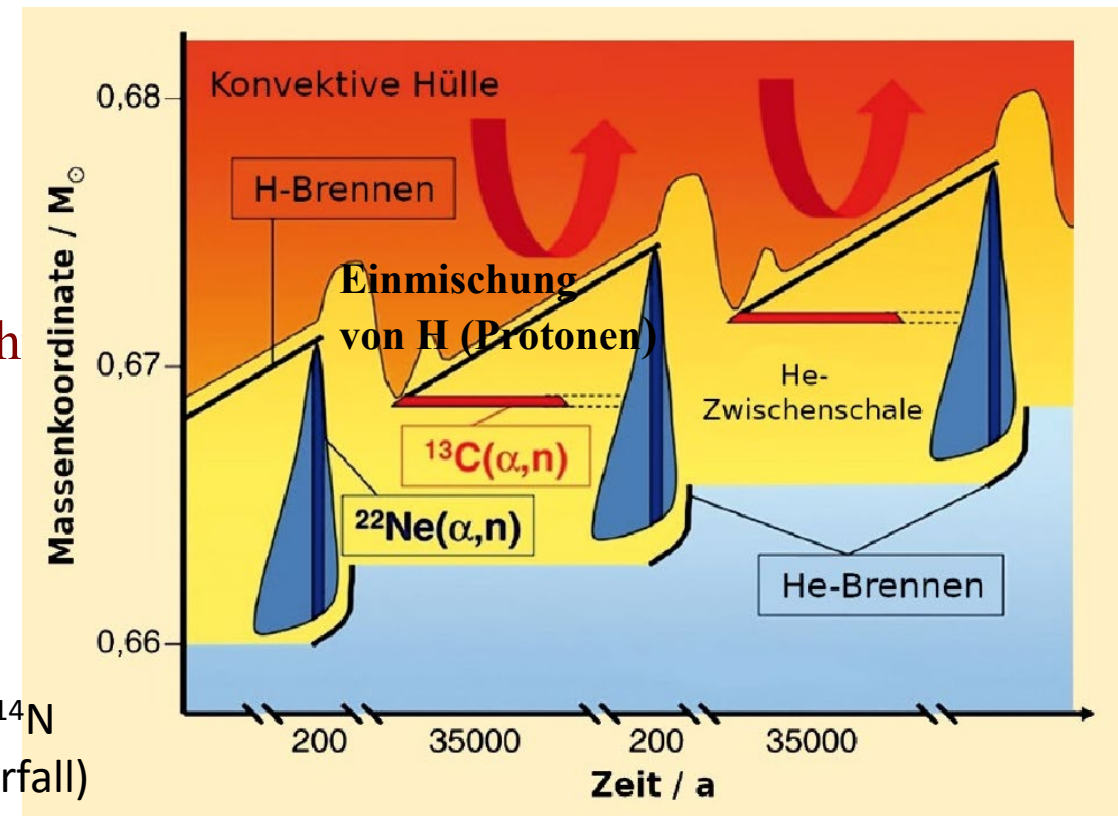
Neutronen entstehen bei alpha (He-Kern)-Einfängen im Heliumbrennen massearmer Sterne (z.B. ⁴He + ²²Ne, ⁴He + ¹³C -> ergibt ²⁵Mg bzw. ¹⁶O + **n**)

mögliche Vernichtung des Kerns (Z,A) durch Beta-Zerfall oder Neutroneneinfang. Bei geringen Neutronendichten gilt immer $\tau_n > \tau_\beta$ d.h. Beta-Zerfall von (Z,A) nach (Z+1,A)

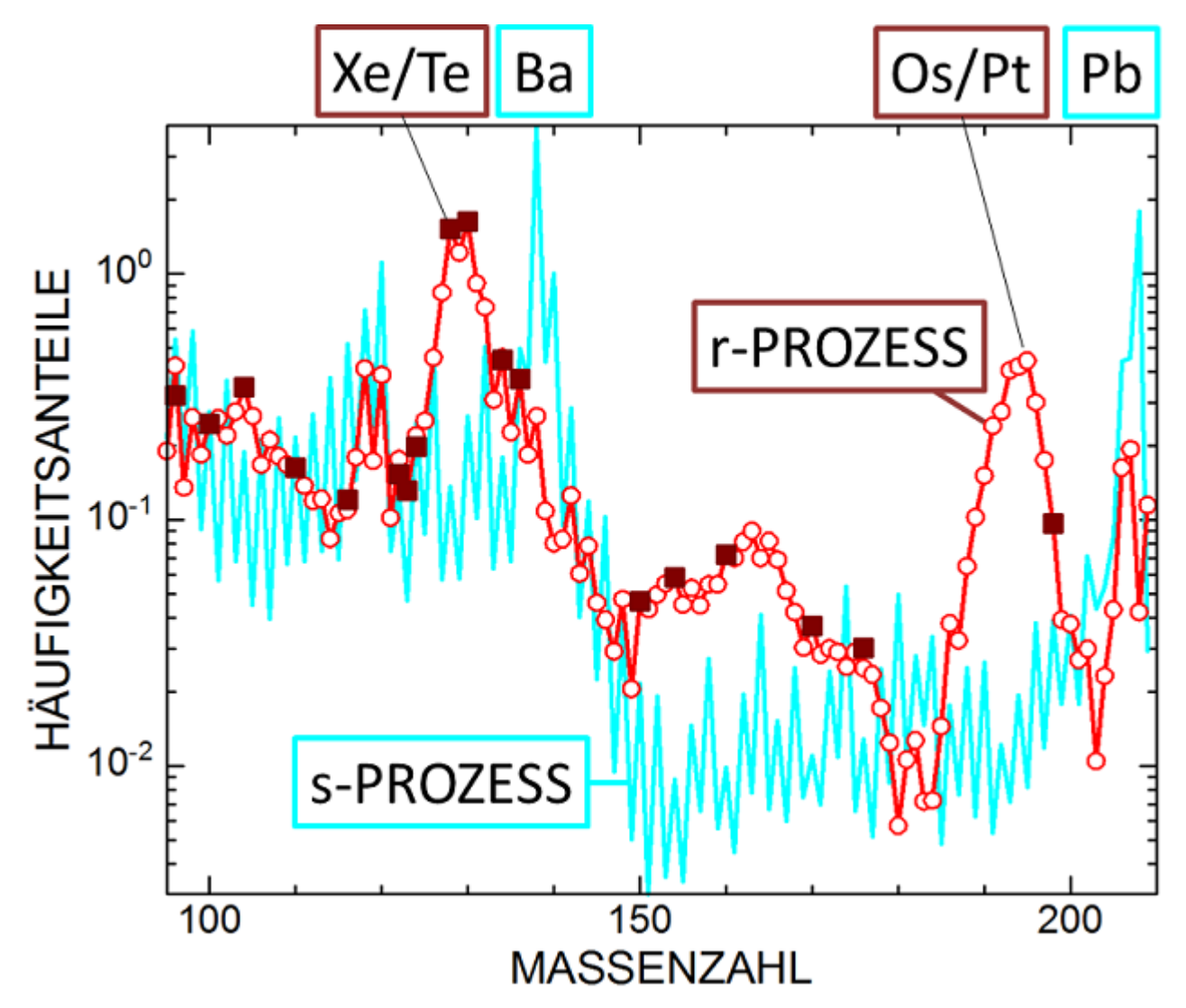
und der Reaktiuonsfluss durch den s-Prozess-Pfad wird auschliesslich durch die Geschwindigkeit der Neutroneneinfänge bestimmt.

es stellt sich nahezu ein Flussgleichgewich ein, Häufigkeitsmaxima entstehen an Neutronenschalenabschlüssen, wo Neutroneneinfangsraten klein sind.

Instabile Pulse von He-Schalenbrennen in massearmen Sternen, wo H und He-Schale sehr nah beieinander liegen (²²Ne aus α-Einfängen an ¹⁴N aus CNO-Zyklus, ¹³C aus ¹²C+p->¹³N->¹³C (beta-Zerfall)

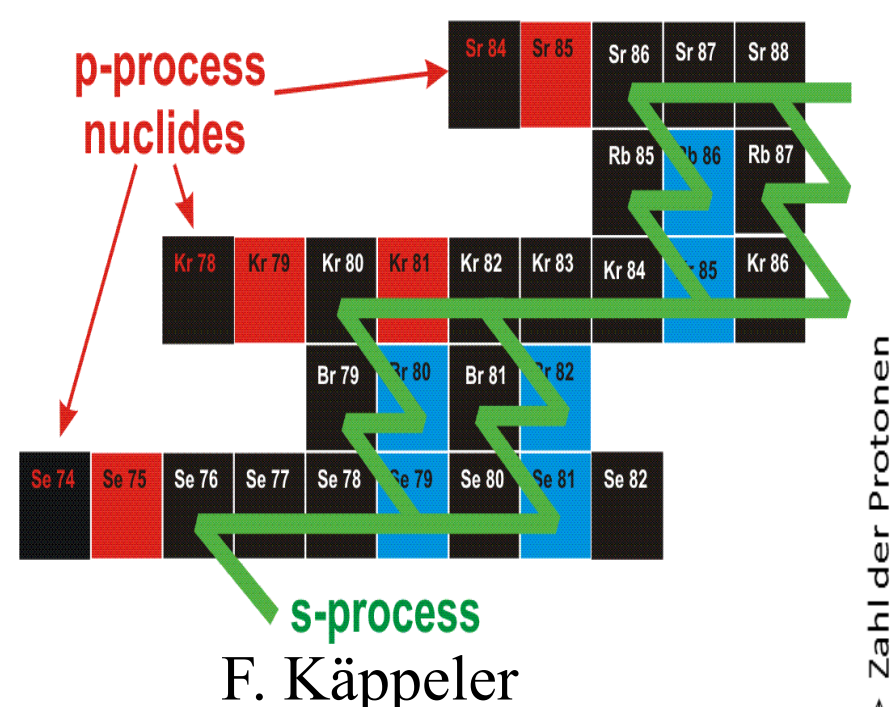


Zerlegung in s- und r-Prozess



es gibt reine s- und r-Kerne, andere haben einen Beitrag vom s- und r-Prozess. Da der s-Prozess verstanden ist (bekannte Kernphysik nahe der Stabilität sowie verstandene Sternmodelle), kann die r-Komponente durch Subtraktion der s-Komponente von solaren Häufigkeiten erreicht werden.

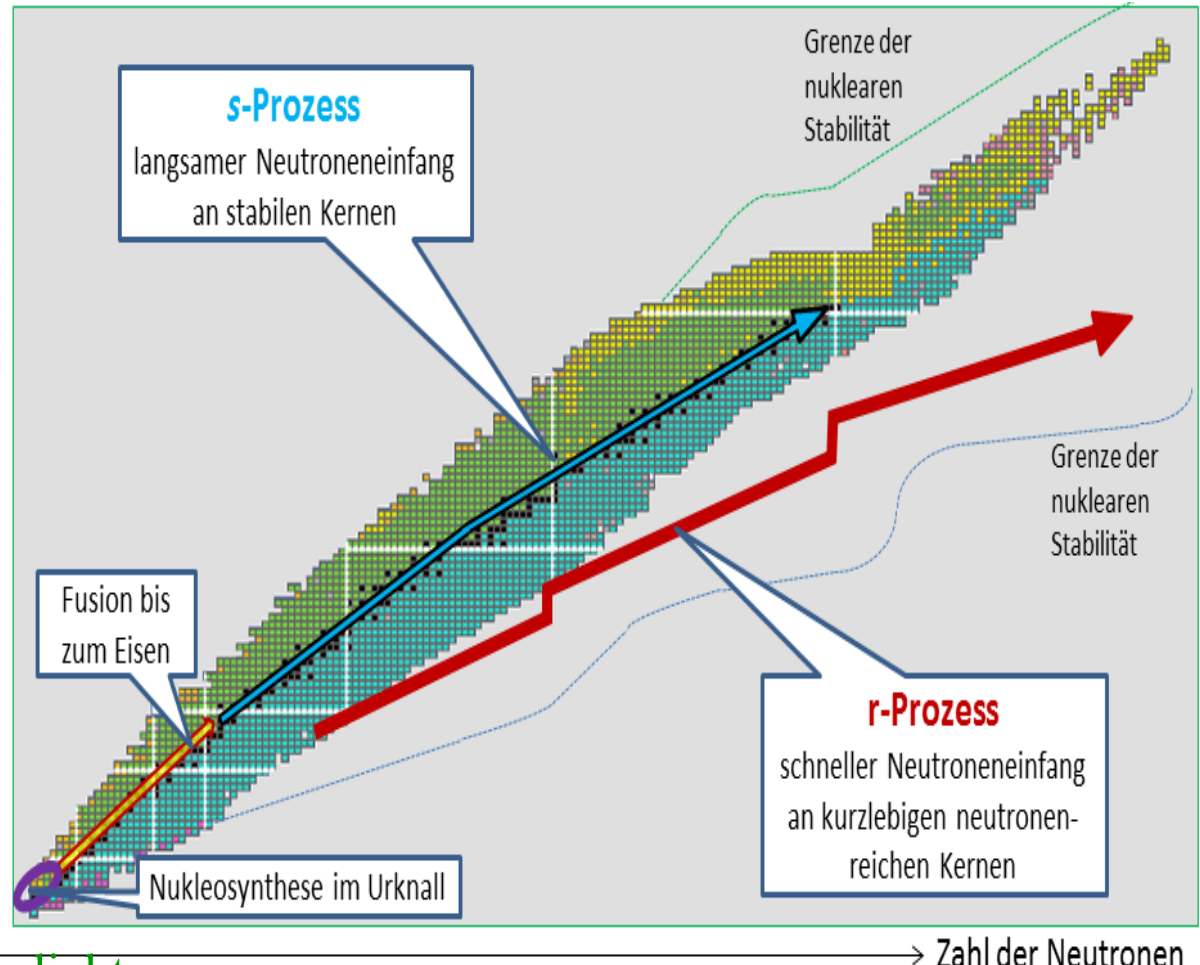
s-, r- und p-Prozess



Bei hohen Neutronendichten sind die Zeitskalen für Neutroneneinfänge kurz und können wesentlich kleiner sein als Beta-Zerfallszeiten. Dies ermöglicht auch die Erzeugung von Isotopen weitab der Stabilität und einen r-Prozess, der Silber und Gold, aber auch Uran, Thorium und Plutonium erzeugt.

Aber wo kann man diese hohen Neutronendichten erhalten?????

Kerne weitab der Stabilität: Grossprojekte GSI/FAIR (Darmstadt), FRIB (MSU-USA), RIKEN (Tokio-Japan)



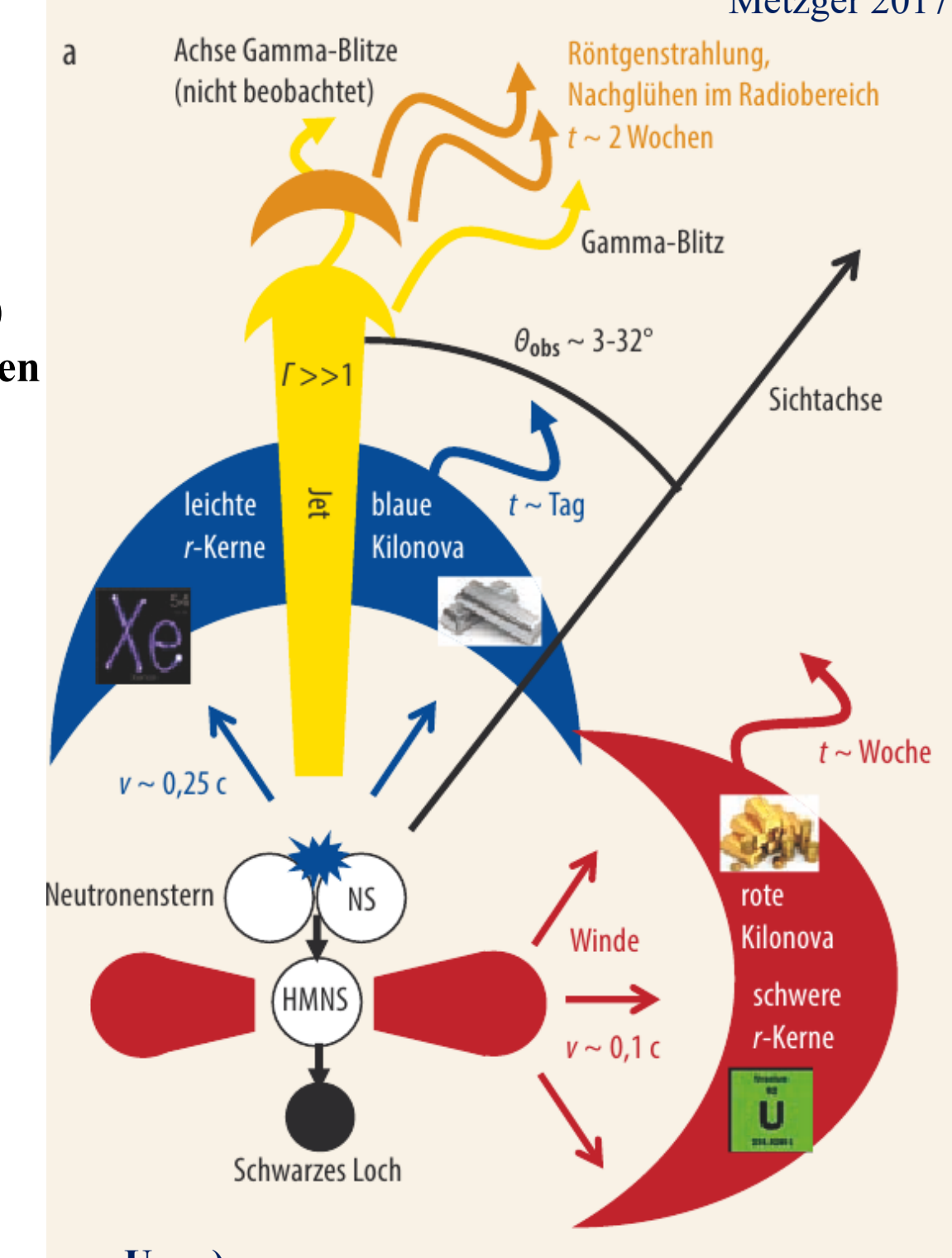
G. Martinez-Pinedo

GW170817, die erste beobachtete **Neutronensternverschmelzung**



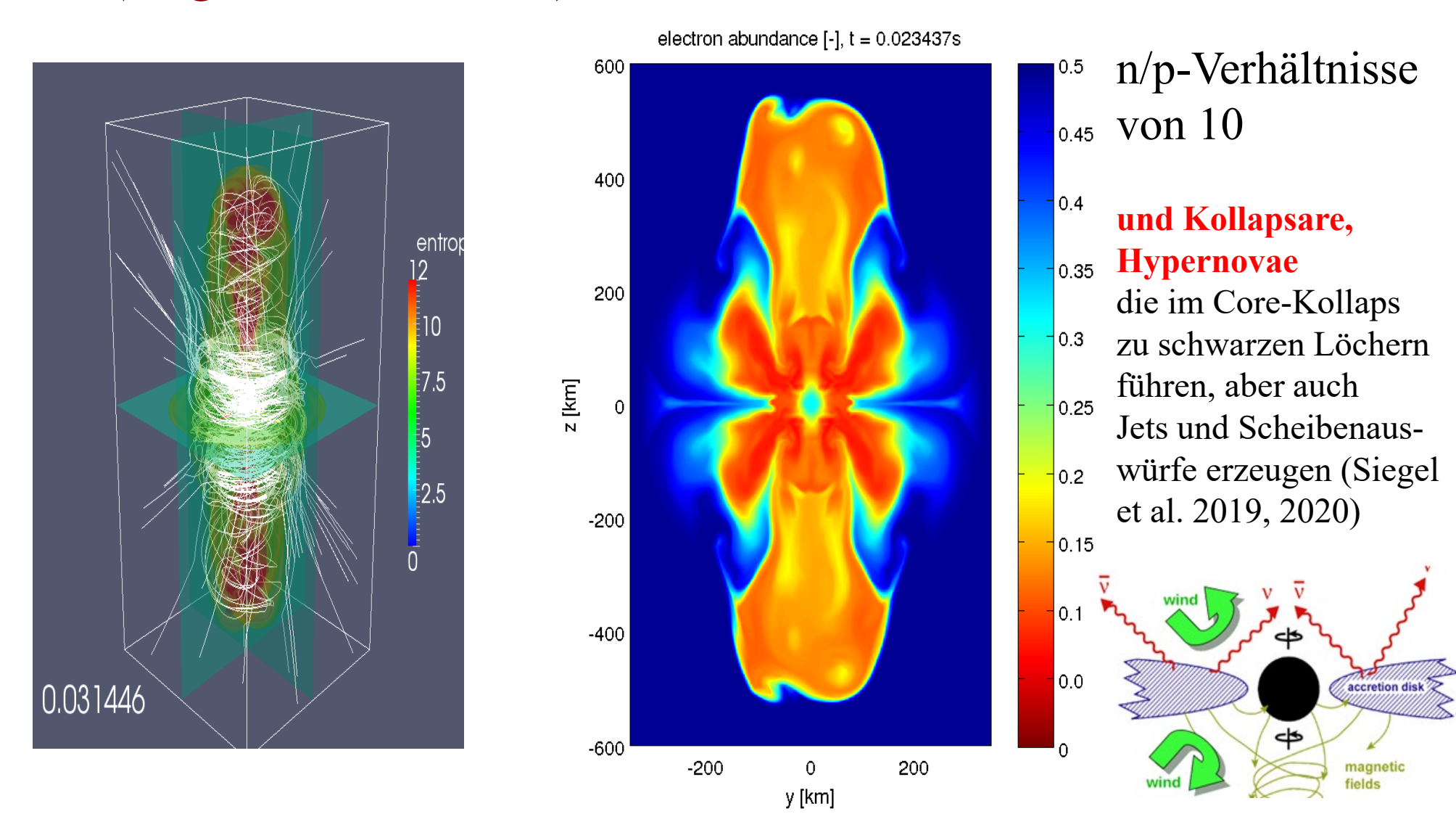
Simulationen z.B, Rosswog et al. (1999-2022)n/p-Verhältnis >20 in Neutronensternen

- 1. Gravitationswellenabstrahlung bis zur Verschmelzung
- 2. Dynamische Ejekta (Kollision und Spiralarme)
- 3. Hypermassiver Neutronenstern für etwa 100ms, Wind mit leichten r-Kernen
- 4. HMNS kollabiert zum Schwarzen Loch
- 5. Teil des Massenflusses aus der Scheibe auf das Schwarze Loch wird in hoch-relativistischen polaren Jets ejektiert (Gamma-Blitz GRB)
- 6. Äquatorialer Massenausfluss aus der Scheibe
- 7. Urspünglich optisch dichte Ejekta ergeben optisches/infrarotes Nachglühen abhängig von der Komposition (unter anderem etwa 40 Erdmassen Gold, 10 Erdmassen Uran)



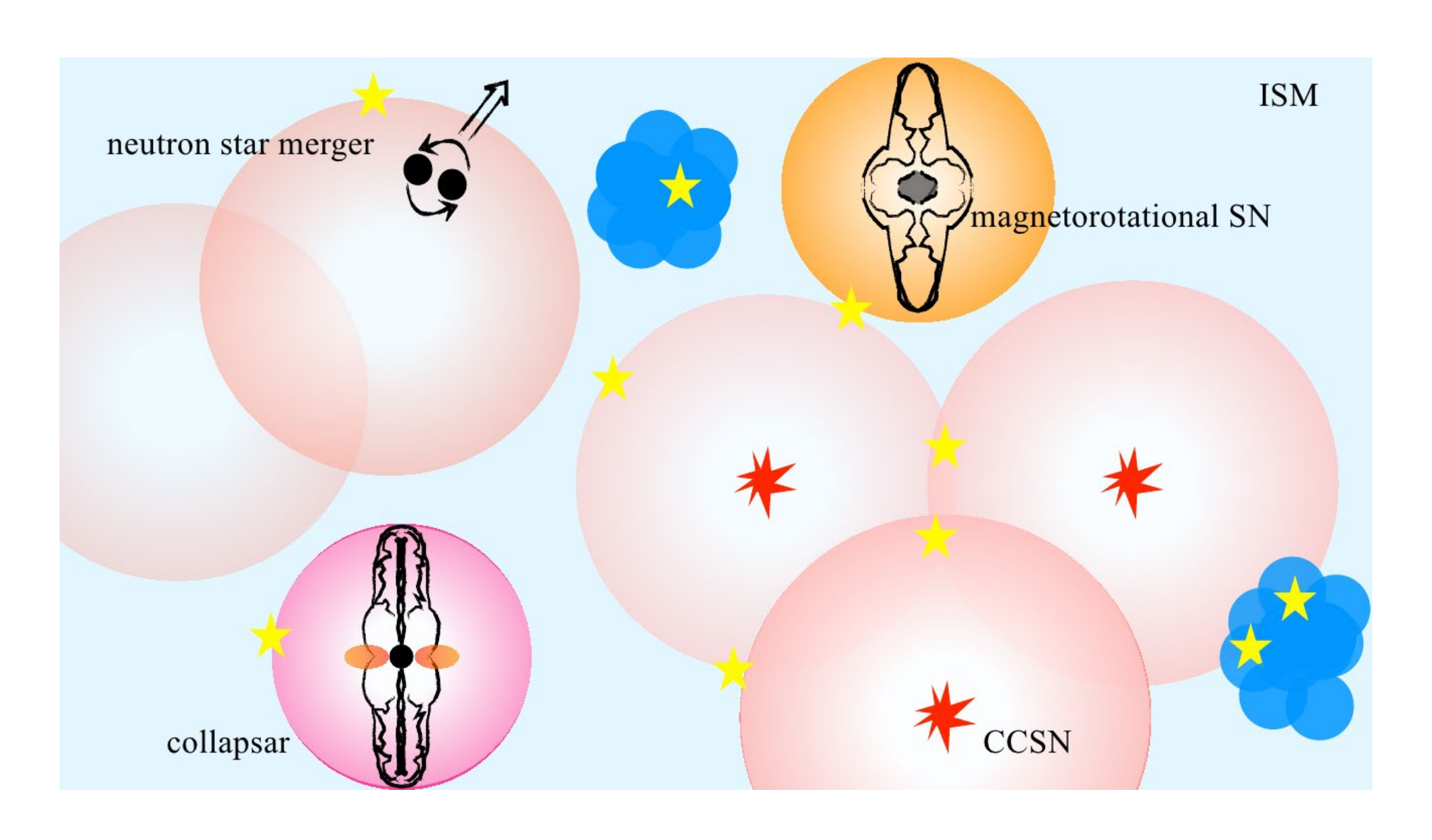
Eine seltene Klasse von Supernovae mit schneller Rotation und hohen Magnetfeldern

die zu schnell rotierenden Neutronensternen mit sehr hohen Magnetfeldern führen (Magnetare, 10¹⁵ Gauss); r-Prozess-Stärke abhängig von Magnetfeld und Rotation



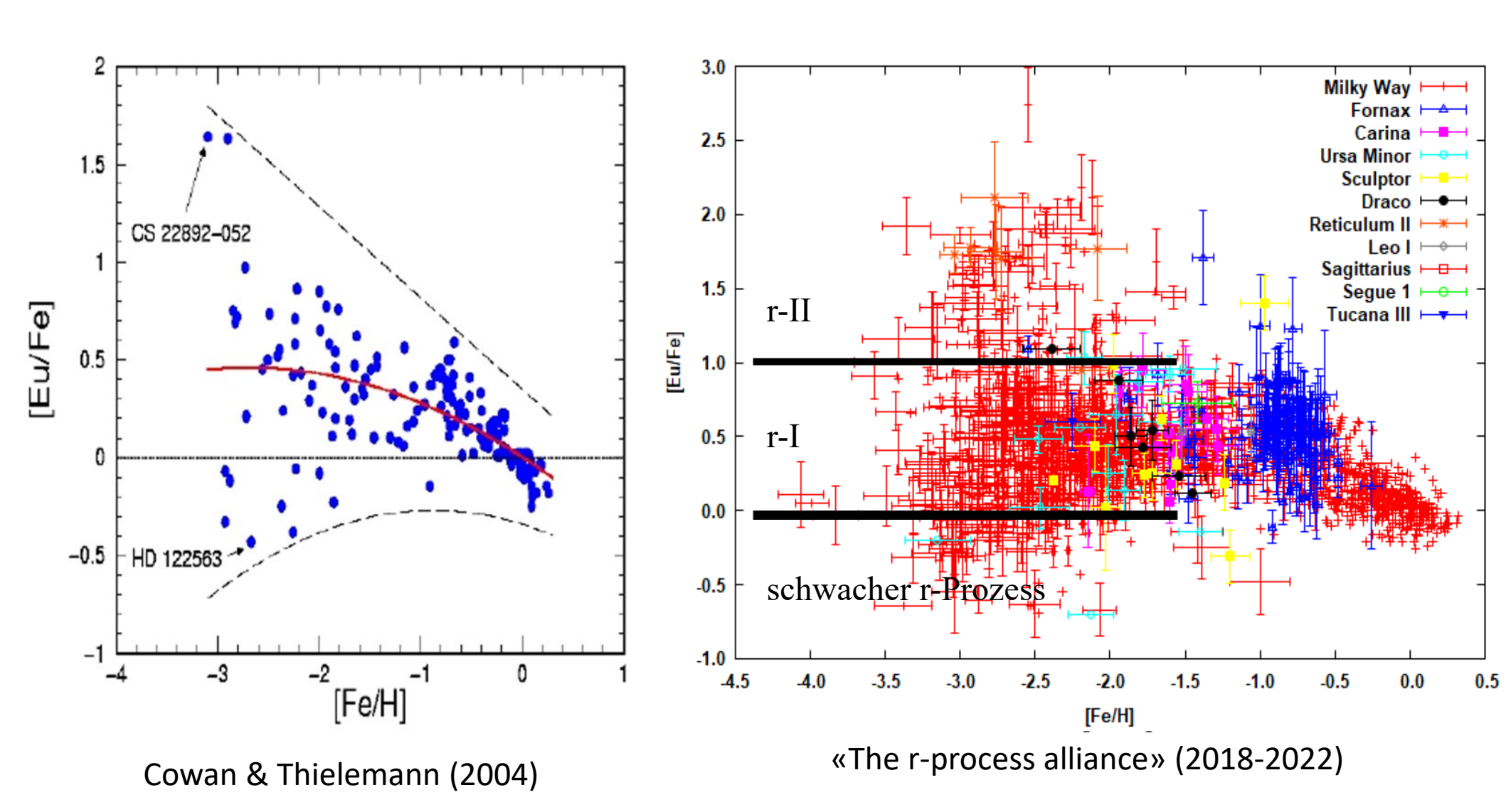
C. Winteler, R. Käppeli, M. Liebendörfer et al. 2012, Eichler et al. 2015, Nishimura et al. 2015, 2017, Reichert et al. 2022, 2023

Die galaktische Entwicklung zeigt in den Frühphasen die Ergebnisse einzelner Explosionsereignisse, die in den Spektren der neu entstandenen Sterne, welche durch diese Explosionen «verunreinigt» wurden, zu sehen sind. Erst im Laufe der galaktischen Entwicklung, wenn viele solche Ereignisse sich überlagern, kommt es zu einer Mittelung.

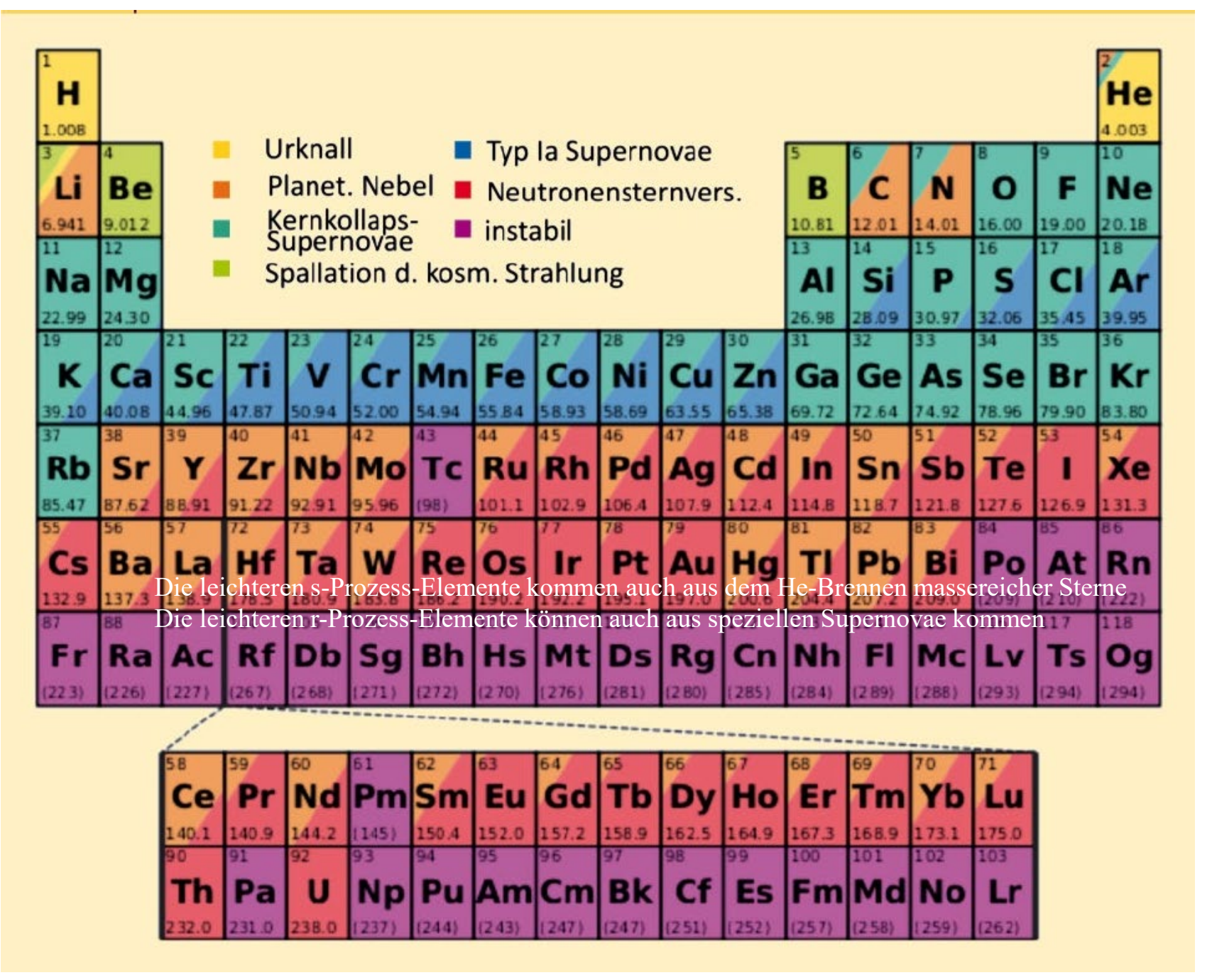


Das gemittelte Eu/Fe-Verhältnis (r-Prozess) verhält sich wie bei CCSNe das alpha/Fe Verhältnis (O, Mg, SI, S, Ca, Ti), aber mit grösserer Streuung!

Die Streuung von [Eu/Fe] von mehr als einem Faktor 100 deutet auf seltene Ereignisse hin (Neutronensternverschmelzungen, seltene Supernovae/Hypernoae/Kollapsare)



Ursprungsorte/quellen der Elemente



Bezug zu den individuellen astrophysikalischen Produktionsorten und ihrer Ereignis-Häufigkeit während der zeitlichen Entwicklung der Galaxie.

R. Reichert (2022): noch mit gewissen Unsicherheiten, da es «schwache» und «Haupt» s- und r-Prozesse gibt, und wahrscheinlich sogar mehrere starke r-Prozess-Orte, sowie weitere unbedeutendere Prozesse, die hier nicht behandelt wurden. (schwacher s-Prozess aus massereichen Sternen (²²Ne) bis A=100, schwacher r-Prozess aus speziellen Supernovae)